

Abb. 1

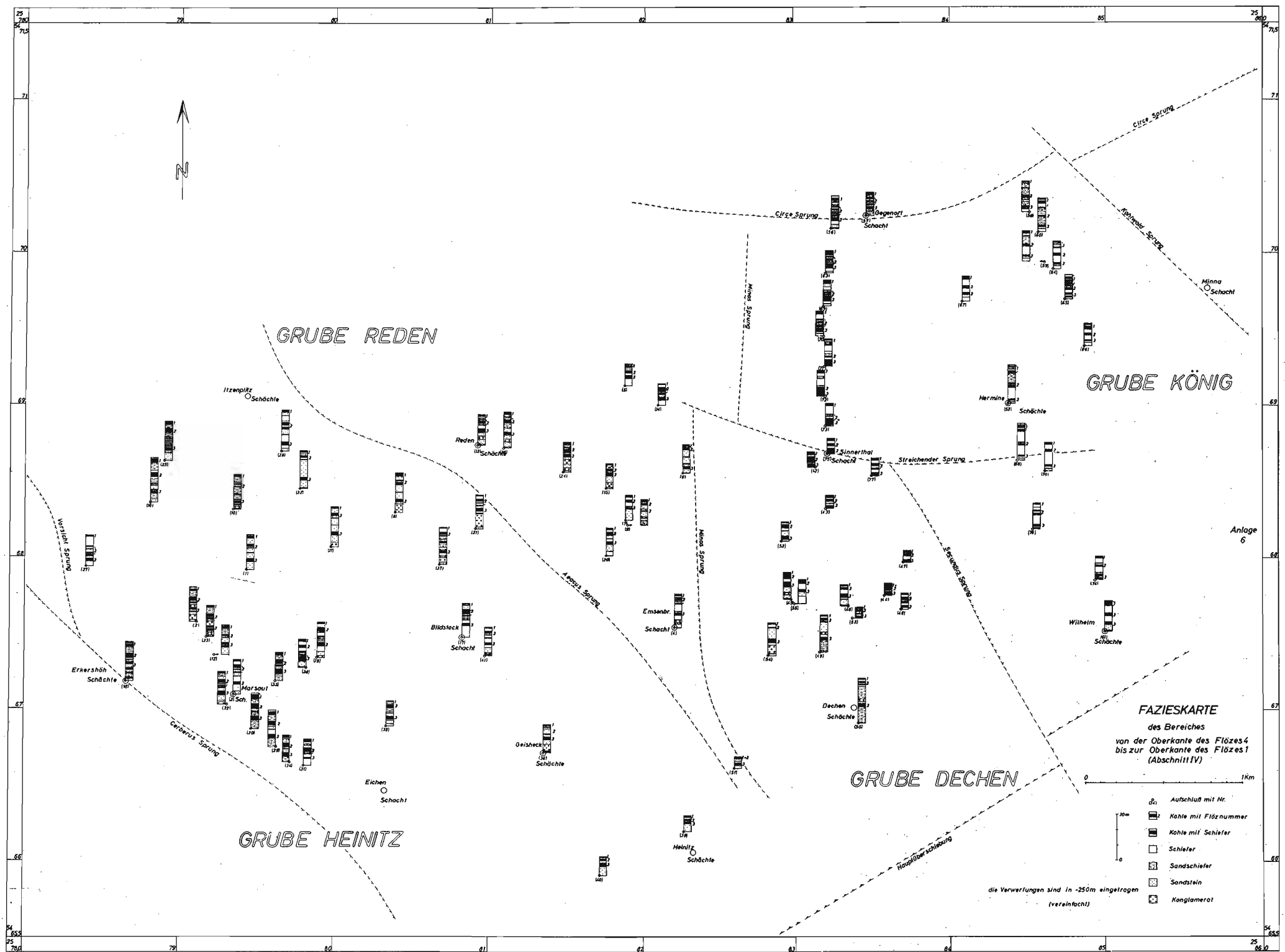


Abb. 2

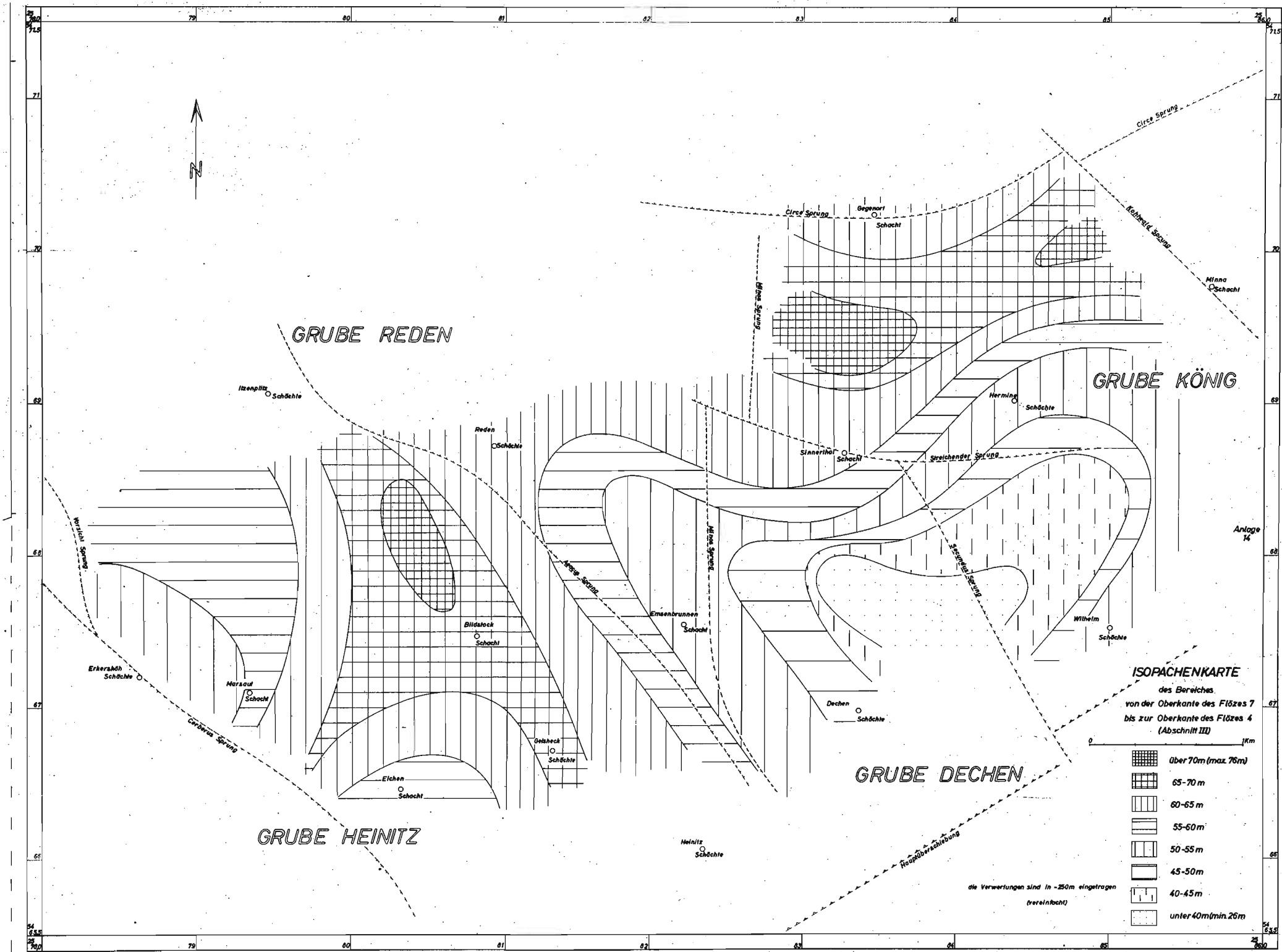


Abb. 3

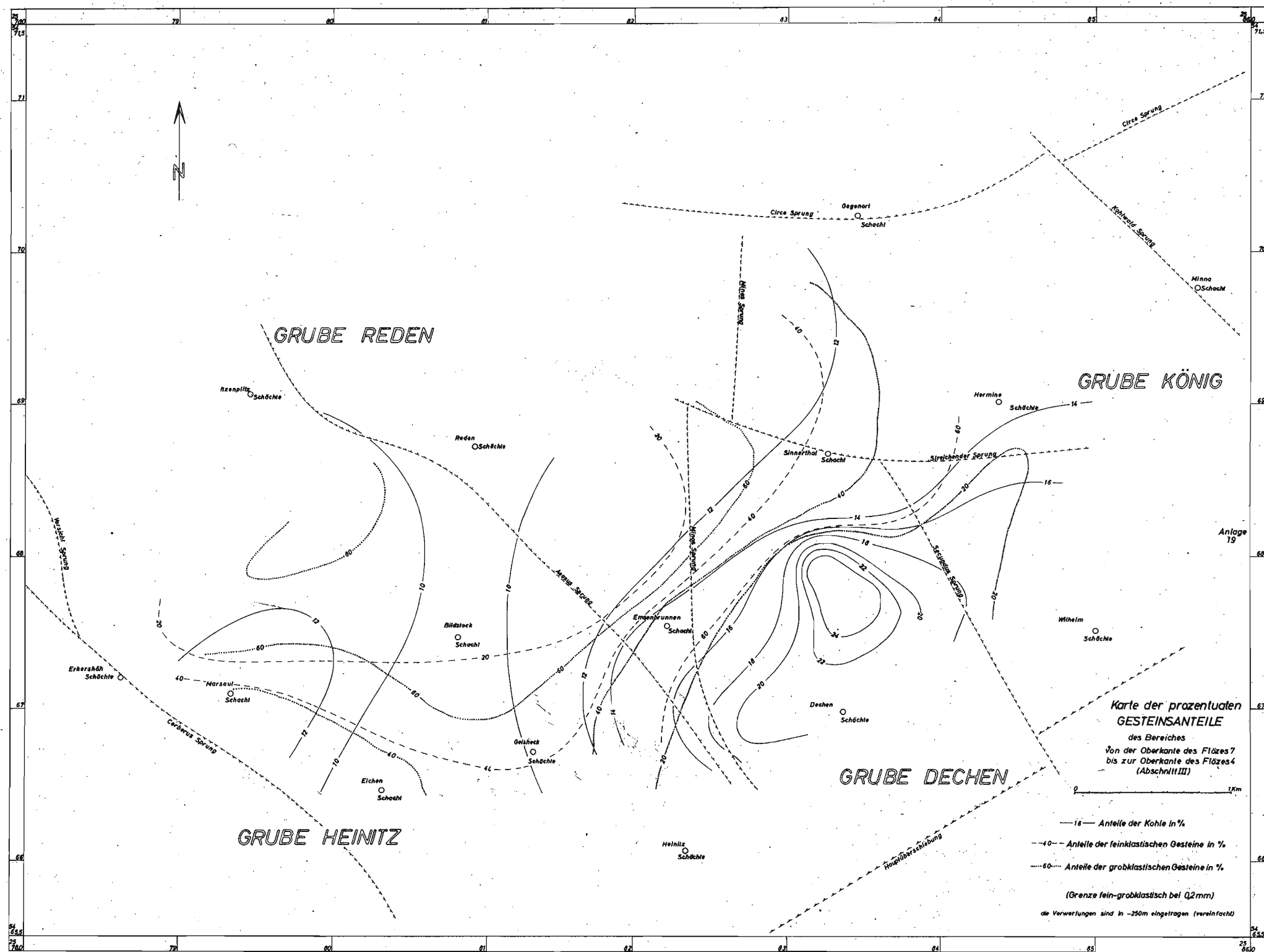


Abb. 4

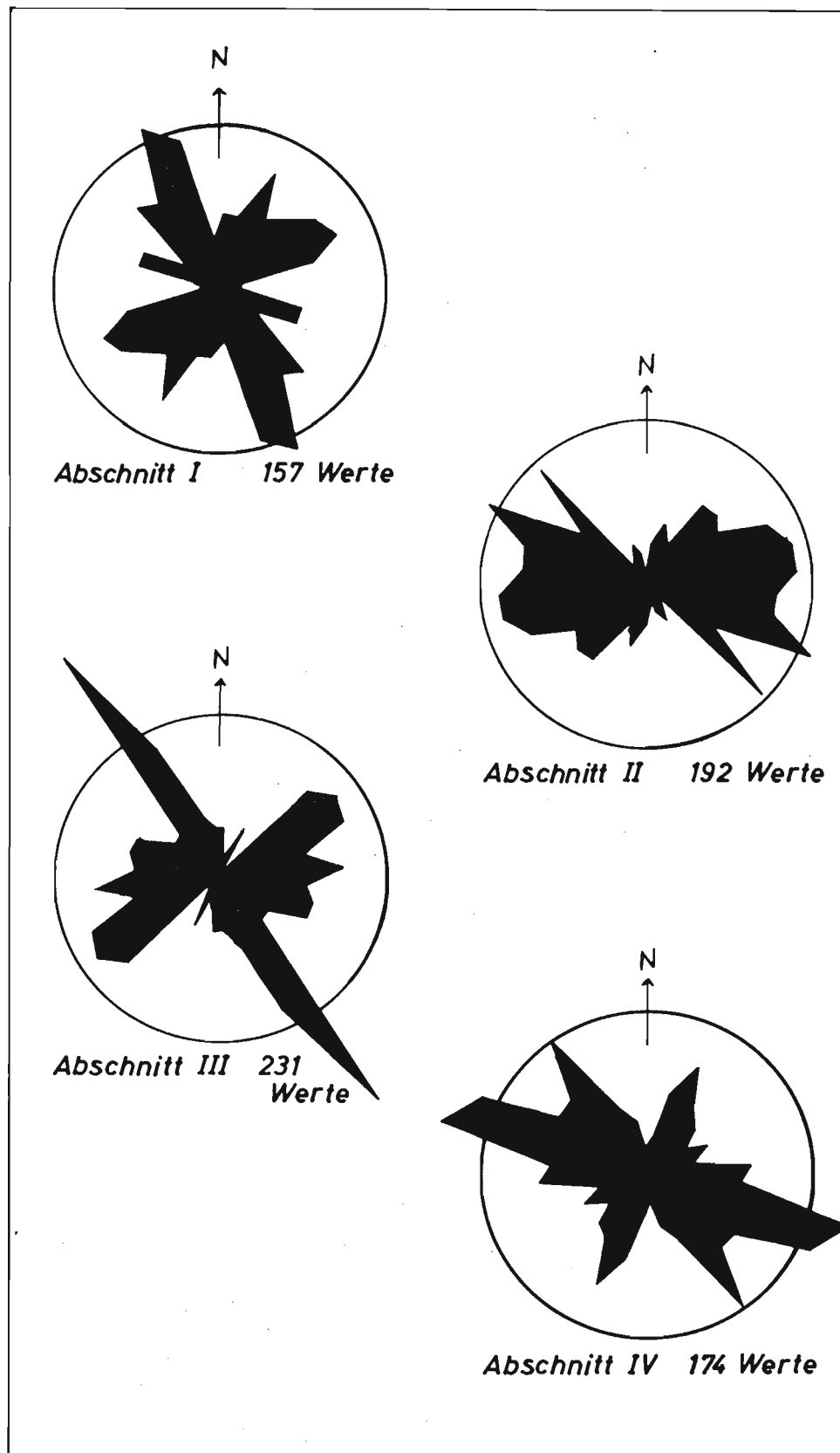


Abb.5 Isopachenrichtungsrosen der Abschnitte I-IV

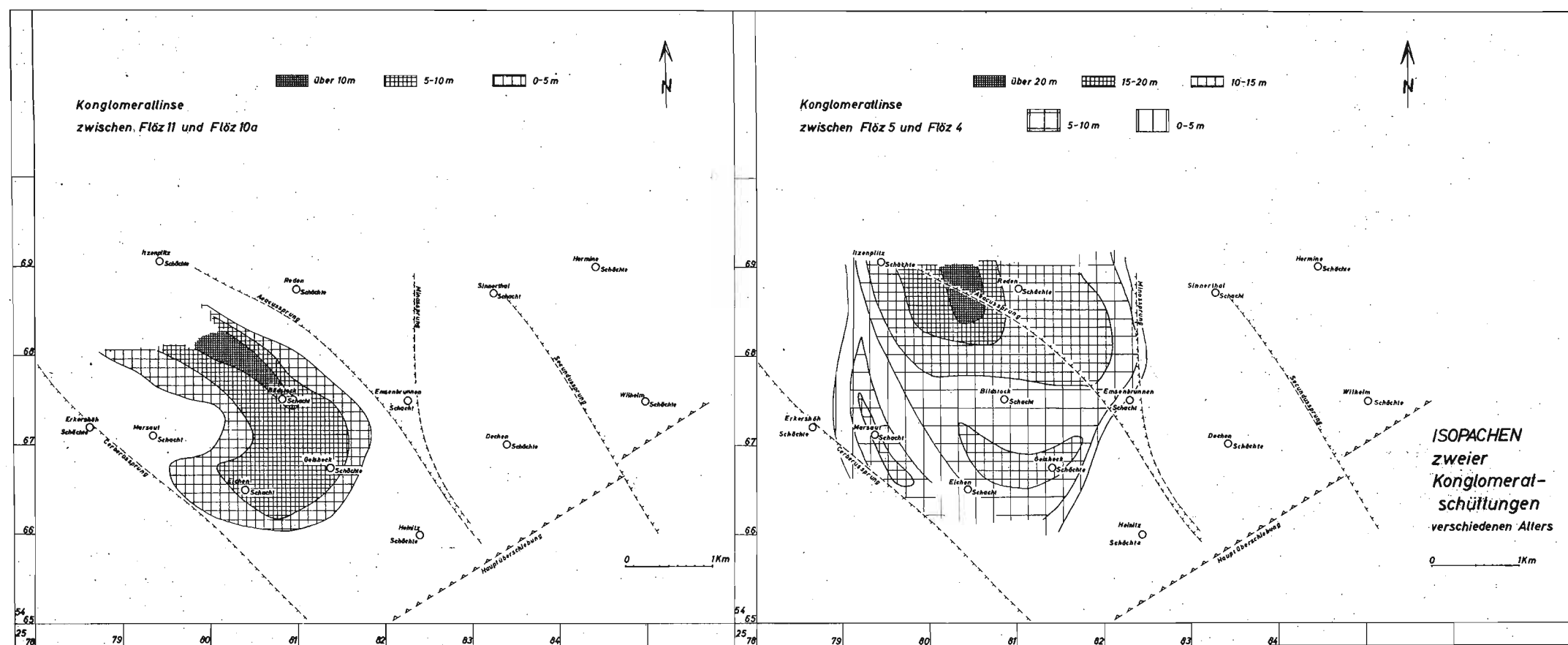


Abb. 6

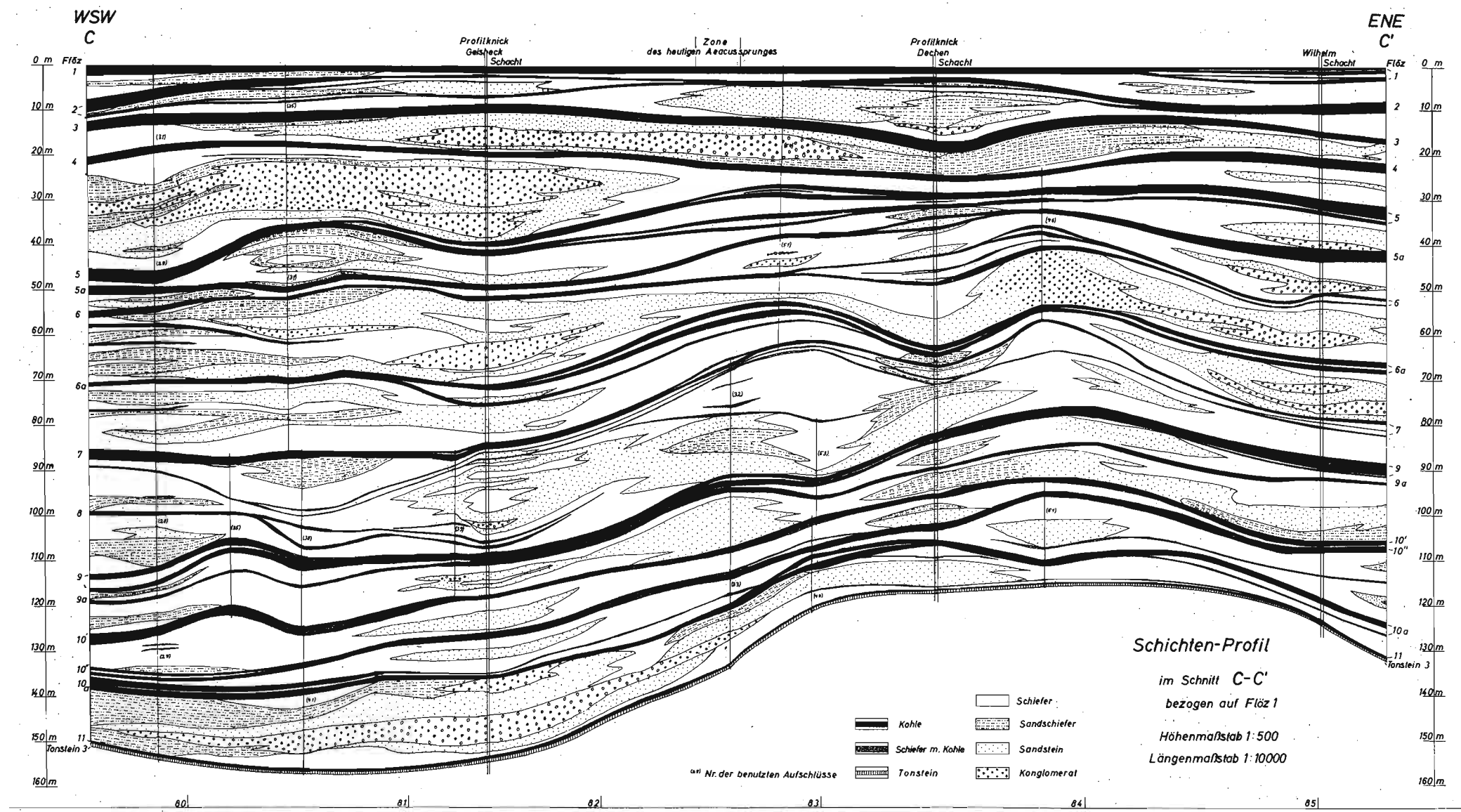


Abb.7

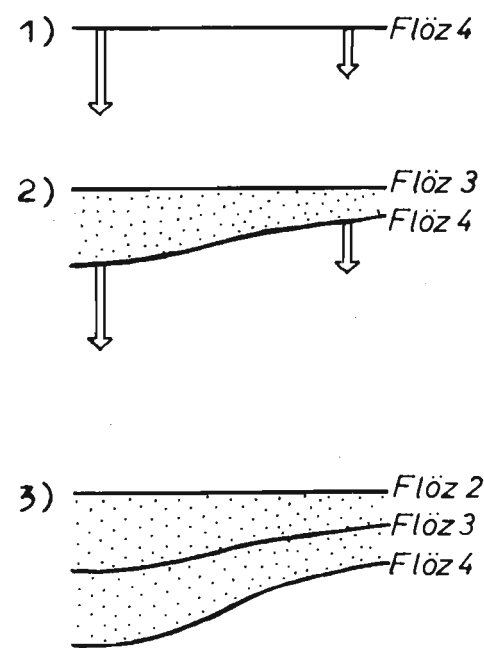


Abb.8a. Verschieden mächtige Zwischenschichten durch differenzierte Absenkung

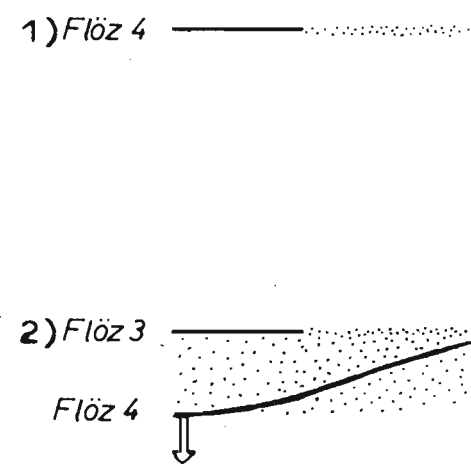


Abb.8b Ungleichzeitige Flözbildung durch örtlich differenzierte Absenkung



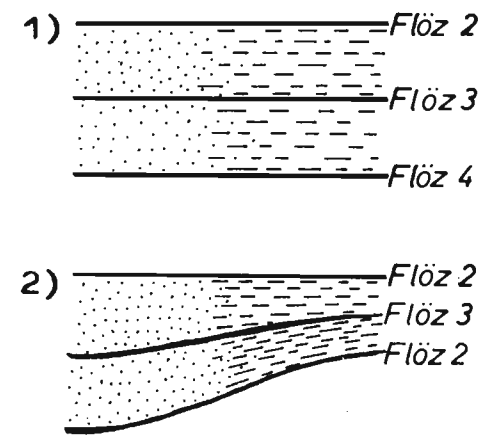


Abb. 9a. Verschieden mächtige Zwischenschichten durch unterschiedliche Setzung

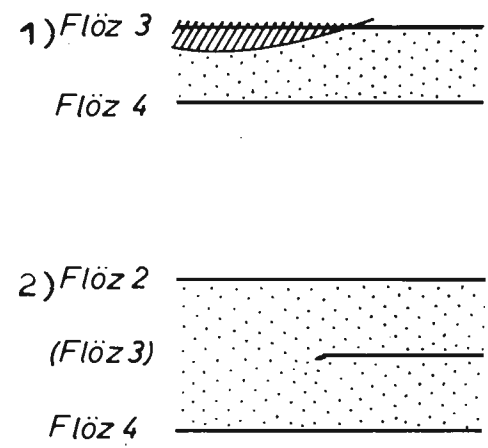


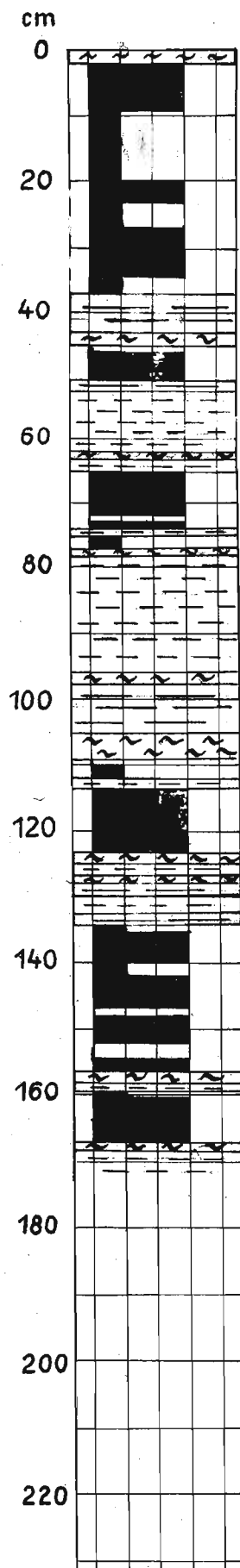
Abb. 9b. „Flözausscheiden“ durch flächenhafte Auswaschung

Grube : Jägersfreude  
 Feld : Tiefbohrung  
 Sohle : Saarbrücken Nord  
 Querschlag :

R : 2570 370  
 H : 5458 367  
 NN : - 675,58 - - 677,41 m  
 aufgenommen von : Damberger, Baldauf

Nr. : K 351  
 Datum : 22, 9. 61.

M. 1:10



gestört

gestört

Nr.	cm	G	GS	S	MS	M	F	Km. Sch.	K	Bsch.	Sch. m.K.	bit. Sch.	sonst. stig.	Bemerkungen		
1	2											2		viel FeS <sub>2</sub>		
2	9				7				7					m. Fusit		
3	20		11		3				11					gestört		
4	23								3					" , Fusit		
5	26		3						3					" , verkippt		
6	34		8						8					"		
7	37		3						3					"		
8	43											6		m. G-Strf.		
9	45									2				m. Pyrit		
10	50				5				5							
11	62											12				
12	63									1				gestört		
13	65												2	etw. Fusit		
14	74				9				9					Schf.		
15	75												1			
16	77		2						2							
17	78									1						
18	96											18		Fusit, Pyr.		
19	98									2				ein. G-Strf		
20	105											7		Fusit		
21	109									4						
22	112		3						3							
23	114												2			
24	123				9				9							
25	125									2						
26	127												2			
27	128									1						
28	135												7	m. G-Strf.		
29	136		1						1							
30	140				4				4					Fus. b. i. Hg		
31	142		2						2							
32	147				5				5					Fusit		
33	148	1							1					viel Fusit		
34	152				4				4							
35	154	2							2							
36	156				2				2							
37	158									2						
38	159												1			
39	160		1						1							
40	167				7				7					etw. Pyrit		
41	168															
		168	3	34	-	55	-	-	-	92	16	-	59	1	Schf.	
Vol. %		1	21	-	33	-	-	-	55	10	-	35	-			
Durchschnittsgewichte										1,35	1,7	2,3				
Gewichts - %										43	9	47				

Abb. 10

Die Darstellung wurde um den untersten, inhaltslosen Teil (leeres Bohrprofil) gekürzt.

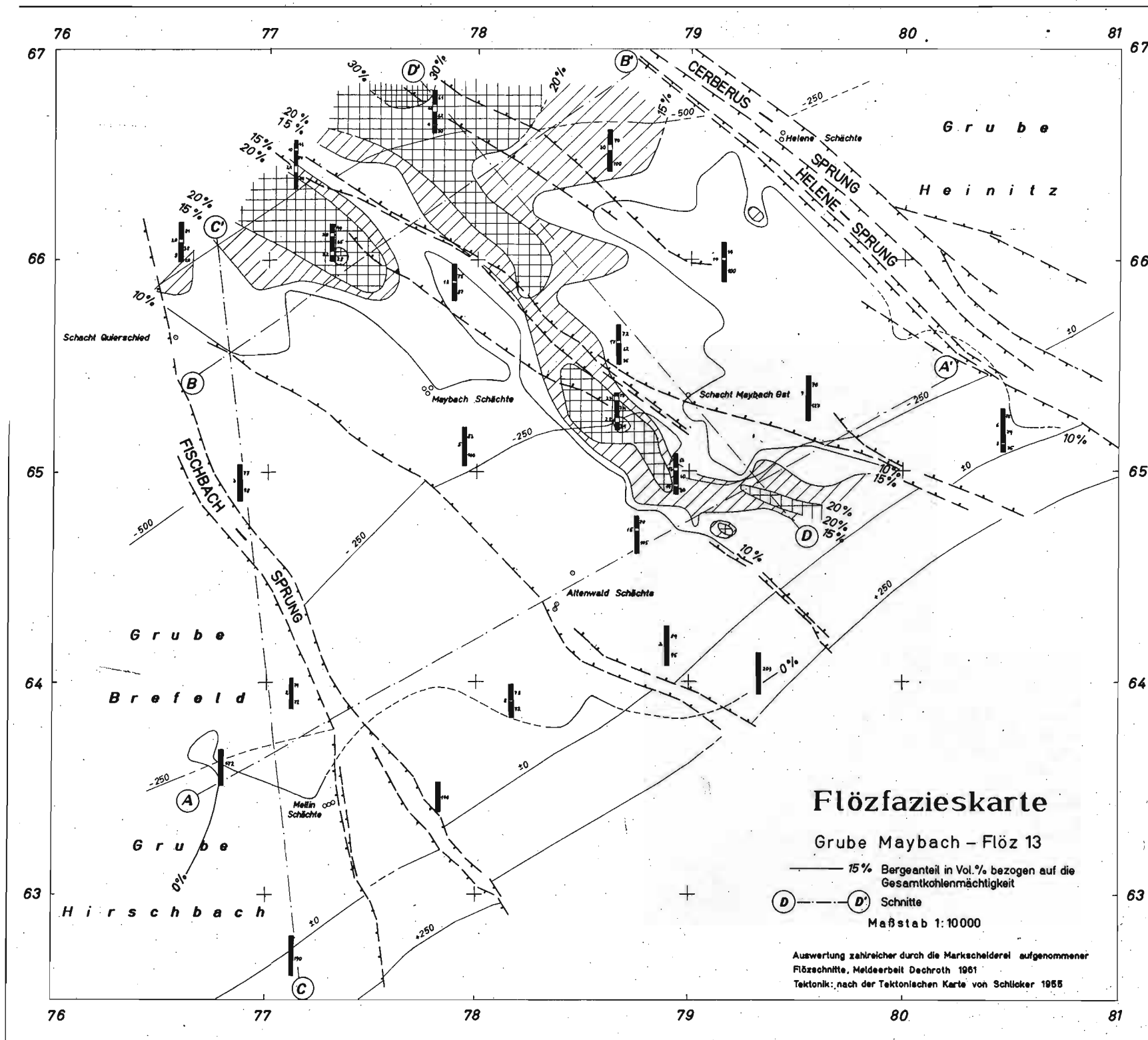


Abb.11

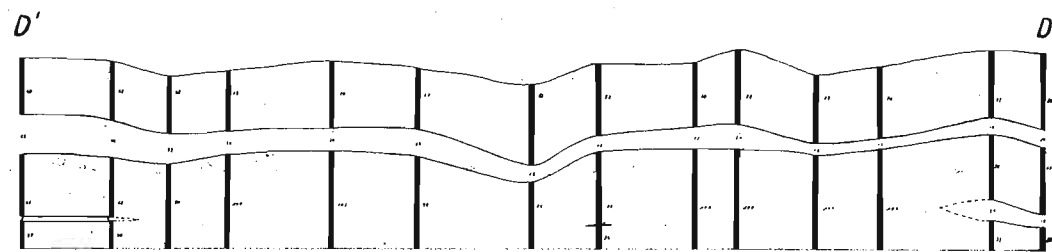
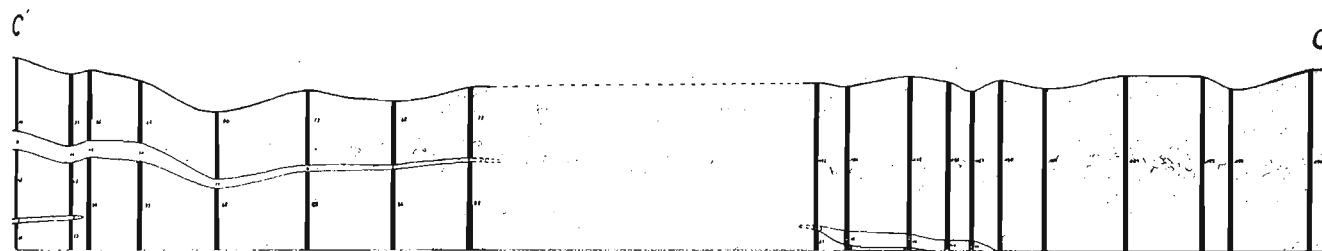
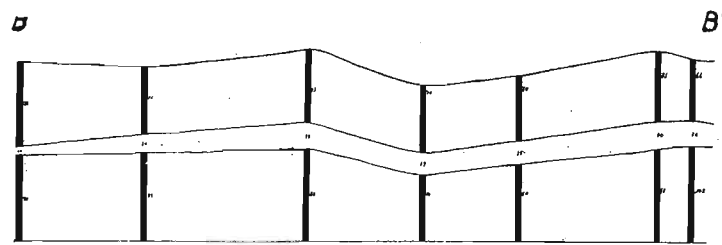
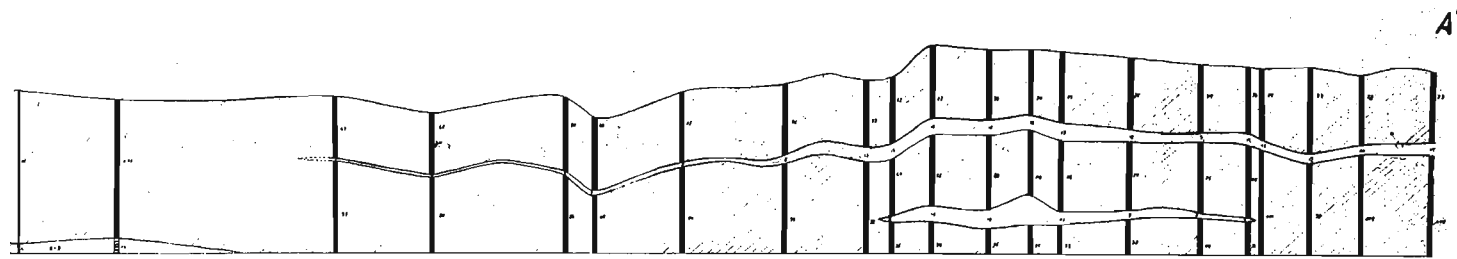


Abb. 12

Gruppen Backvermögen			Code - Nummern									Untergruppen Kokungsvermögen					
Zweite Code Ziffer	Alternativ - Parameter											Dritte Code- Ziffer	Alternativ - Parameter				
	Blähzahl (Swelling-Index)	Backzahl nach Roga	Dilatometerbefund Dilatation %	Gray- King Koks - Typ													
3	> 4	> 45				435	535	635				5	> 140	> G8			
						334 VA	434 VB	534	634				4	> 50 bis 140	G5 bis G8		
						333	433	533	633	733				3	> 0 bis 50	G1 bis G4	
						332 a	332 b	432	532	632	732	832		2	≤ 0	E bis G	
2	2½ bis 4	> 20 bis 45				323	423	523	623	723	823	3	> 0 bis 50	G1 bis G4			
						322	422	522	622	722	822	2	≤ 0	E bis G			
						321	421	521	621	721	821	1	nur Kontraktion	B bis D			
1	1 bis 2	> 5 bis 20				212	312	412	512	612	712	812	2	≤ 0	E bis G		
						211	311	411	511	611	711	811	1	nur Kontraktion	B bis D		
0	0 bis ½	0 bis 5		100 IA	200 IB	300	400	500	600	700	800	900	0	Keine Erweichung	A		
Klassen	Erste Code-Ziffer	0	1	2	3	4	5	6	7	8	9	Anhaltswerte für Flüchtige Bestandteile		Die Kohlenproben dürfen bei den Untersuchungen nicht mehr als 10% Asche enthalten, andernfalls muß die Kohle aufbe- reitet werden.			
	Flüchtige Bestandteile der wasser- und asche- freien Substanz %	0 bis 3	> 3 bis 10	> 10 bis 14	> 14 bis 20	> 20 bis 28	> 28 bis 33	> 33					Klasse 6: 33 bis 41 % Klasse 7: 33 bis 44 % Klasse 8: 35 bis 50 % Klasse 9: 42 bis 50 %				
	Verbrennungswärme der Lufttrockenen (30°C, 97% relative Luftfeuchtigkeit) und aschefreien Substanz kcal/kg								7750 bis	7200 bis	6100 bis	> 7750	> 7200	> 6100	> 5700	Römische Zahlen Statistische Klassifika- tionsgruppen nach Kohlenarten.	Erläuterung der Zeichen > - größer als < - kleiner als ≤ - kleiner als höchstens gleich

Abb. 13

Die Zunahme der Inkohlung in der Bohrung Steinbach

Abb. 7

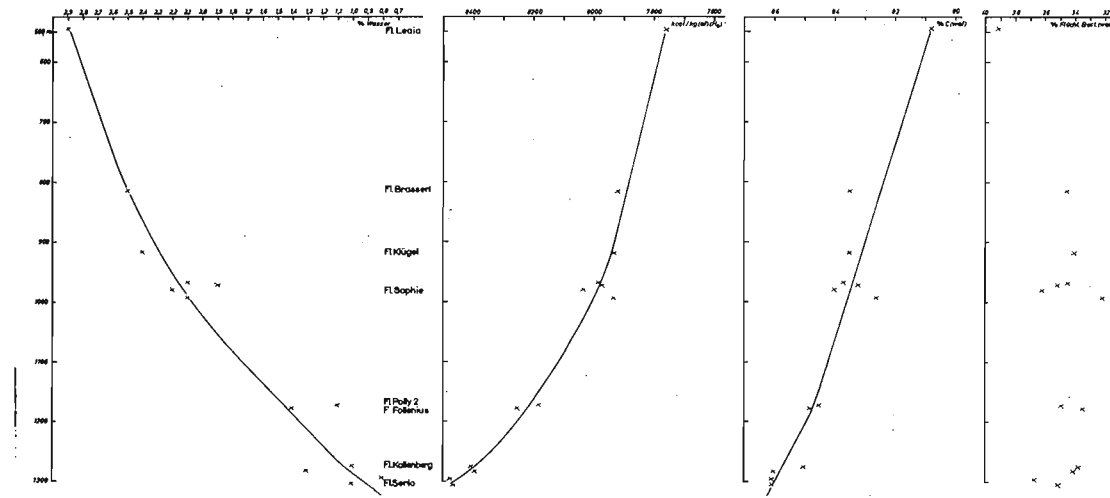


Abb.14

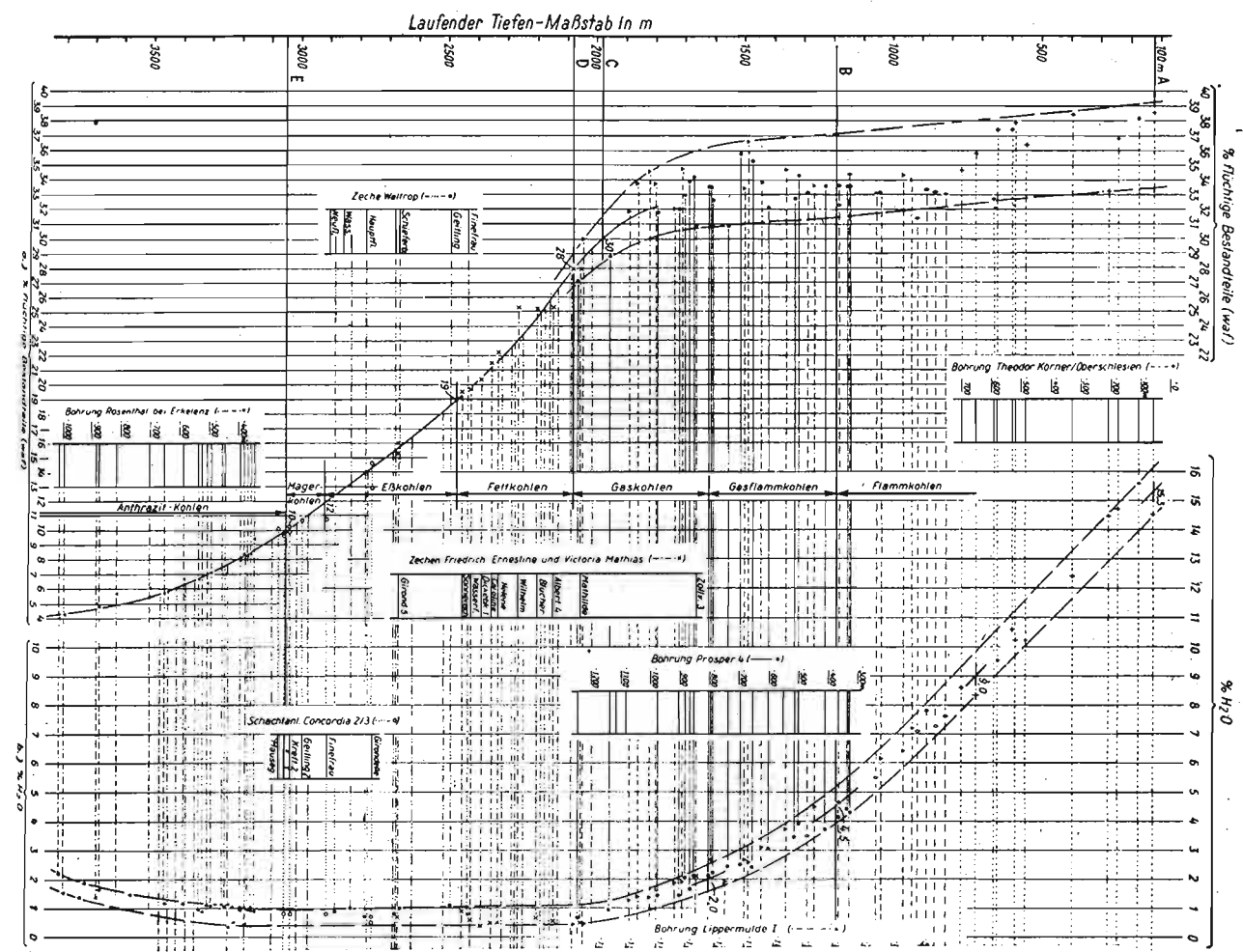


Abb.15 Inkohlungsprofil für das Ruhrkarbon (Teichmüller u. Patteisky)

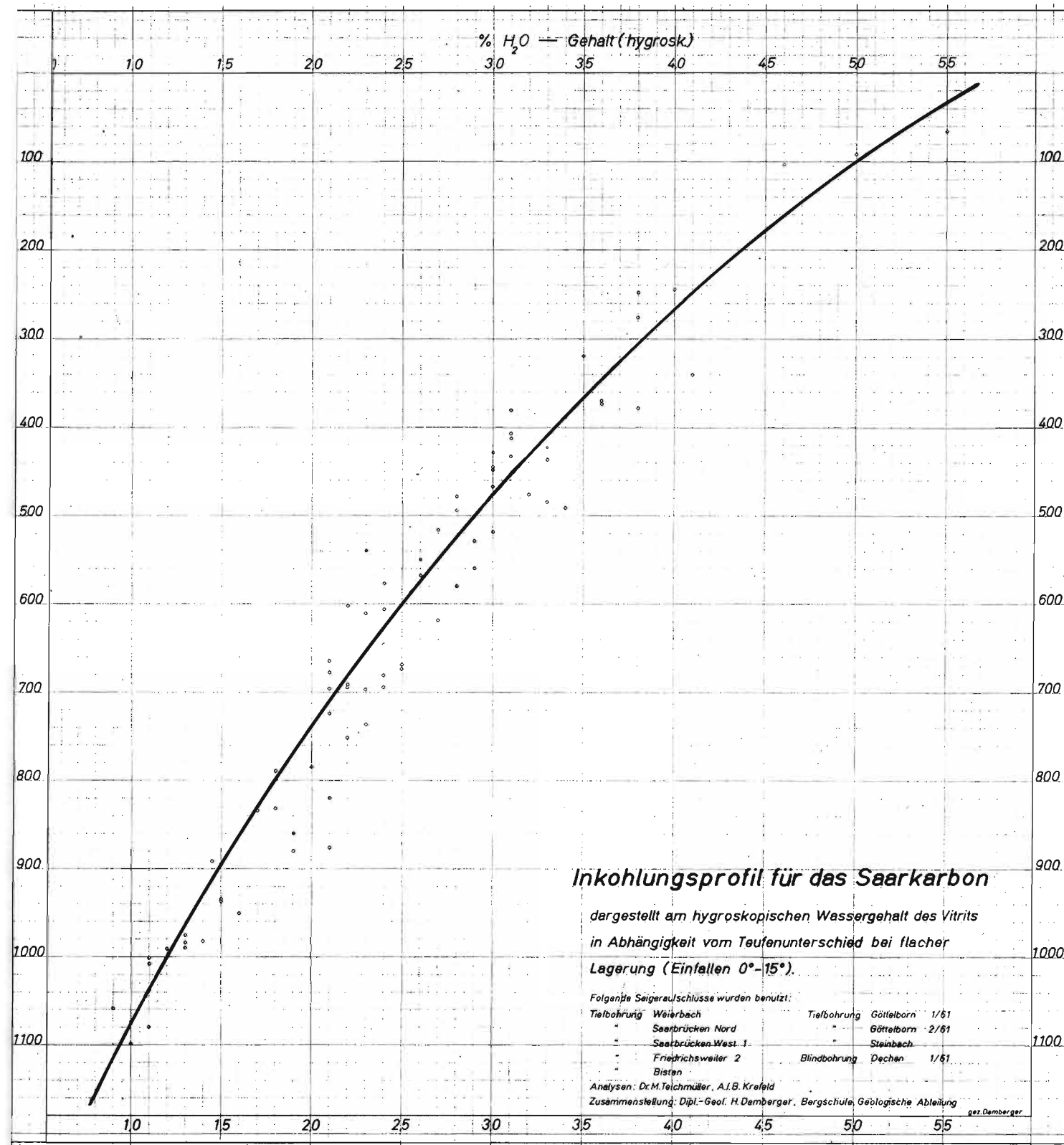


Abb. 16



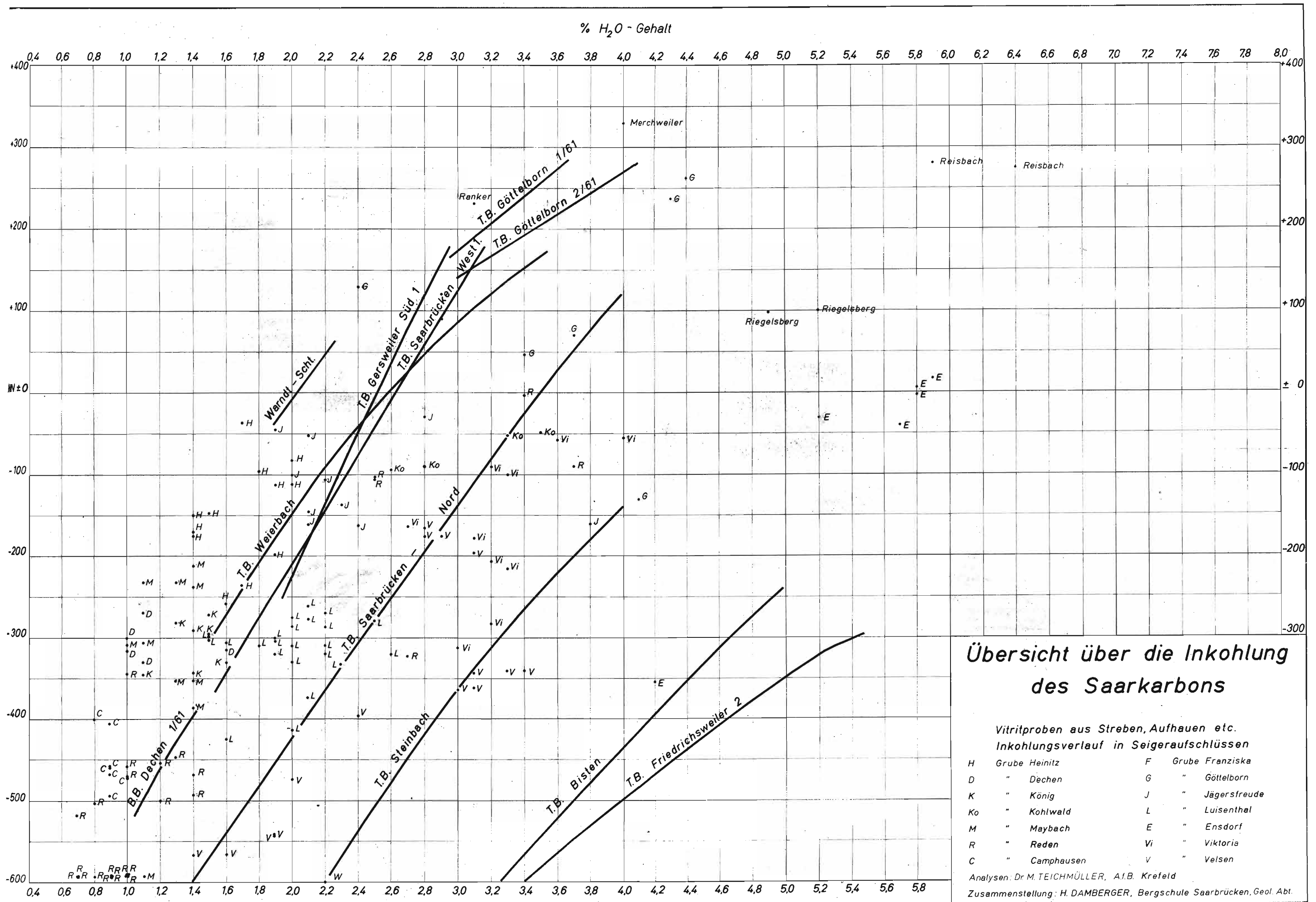


Abb. 17

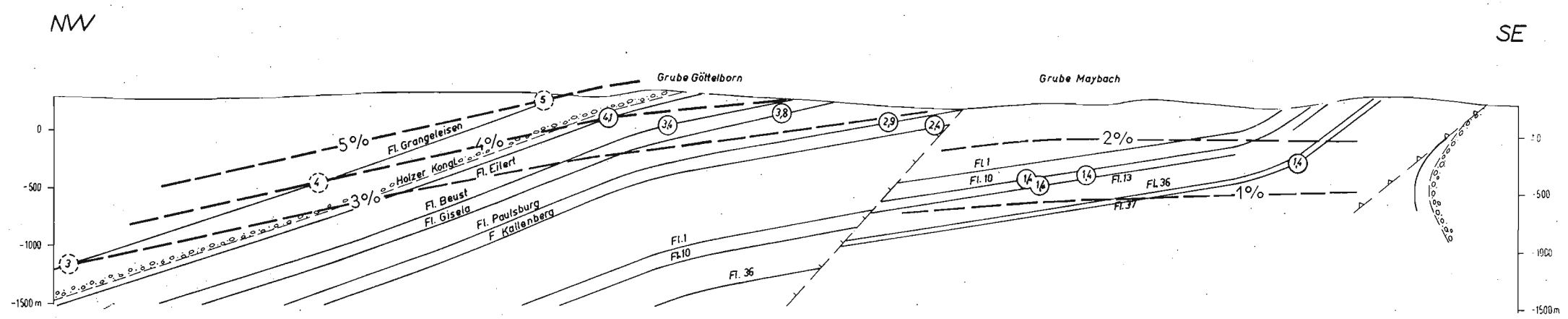
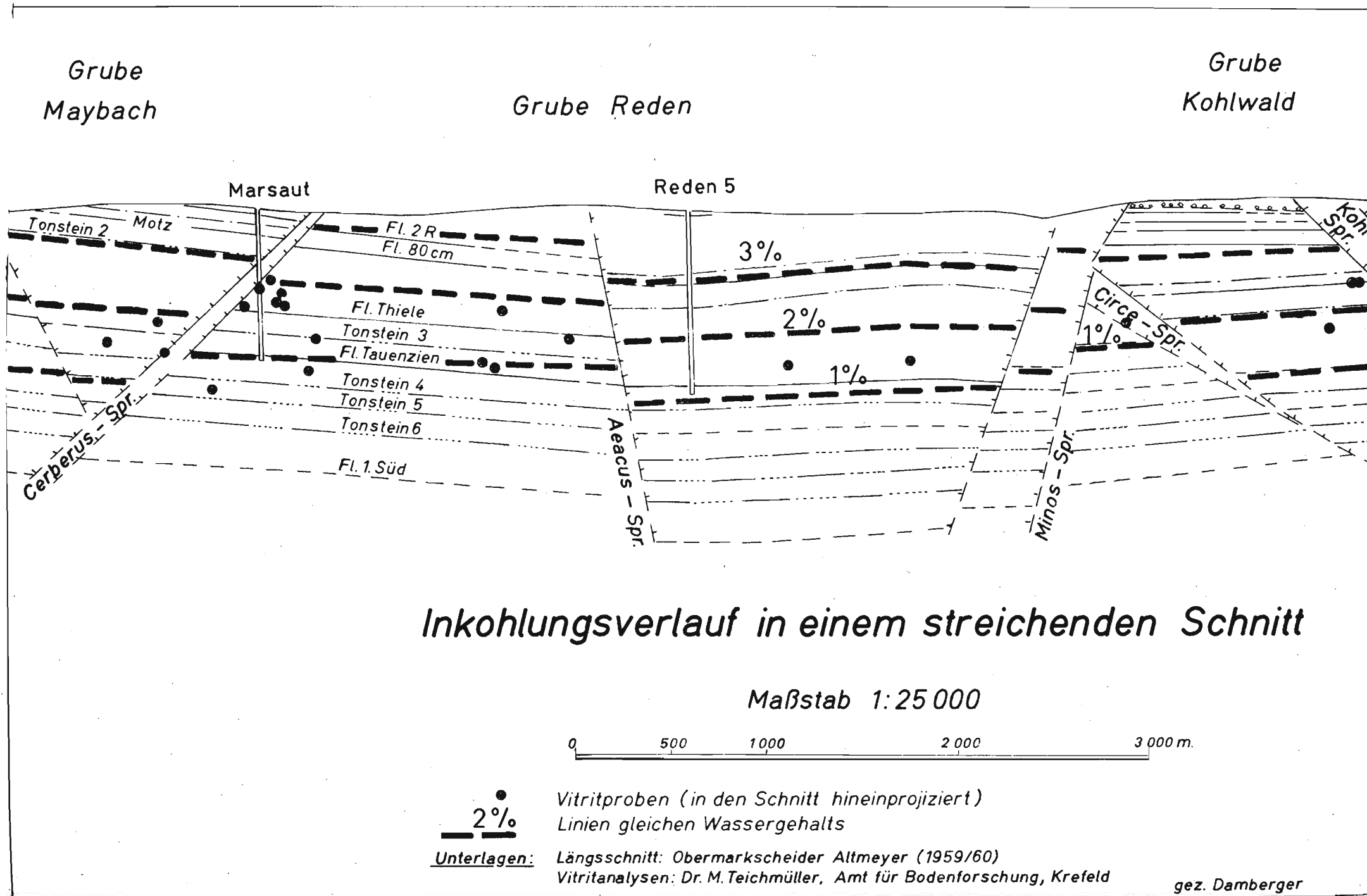


Abb.18 Linien gleicher Inkohlung (% H<sub>2</sub>O) in einem Querschnitt.



**Inkohlungsverlauf in einem streichenden Schnitt**

Maßstab 1:25 000

0 500 1000 2000 3000 m.

●  
**2%**

Vitritproben (in den Schnitt hineinprojiziert)  
Linien gleichen Wassergehalts

Unterlagen:

Längsschnitt: Obermarkscheider Altmeyer (1959/60)  
Vitritanalysen: Dr. M. Teichmüller, Amt für Bodenforschung, Krefeld

gez. Damberger

Abb. 19



Geologische Sammlung der Bergschule Saarbrücken	
Nr.	C/3948 Formation Westfal D
Palaeoweichselia defrancei	
Fundort	Gr. Luisenthal Fl. Kallenberg

Geologische Sammlung der Bergschule Saarbrücken	
Nr.	C/3919 Formation Westfal D
Annularia stellata	
Fundort	Gr. Kohlwald Fl. Serlo

MBH 1905 57 II-115-1605-57-05-25

Bezeichnung, Name: Sphenopteris damesi PTGME  
Kennzahl: C/3827

Schrank: 38 Schublade: 37 Regal: \_\_\_\_\_ Kiste: \_\_\_\_\_

Original \_\_\_\_\_ Belegstück \_\_\_\_\_ Handstück \_\_\_\_\_ Probe \_\_\_\_\_

Leitfossil für: Geisheck-Schichten

Vorkommen beschränkt auf: Saarkarbon

Zustand und Erhaltung: Sehr gut \_\_\_\_\_ gut \_\_\_\_\_ mäßig \_\_\_\_\_ schlecht \_\_\_\_\_

Stück ist einmalig \_\_\_\_\_ selten \_\_\_\_\_ gewöhnlich \_\_\_\_\_ häufig \_\_\_\_\_

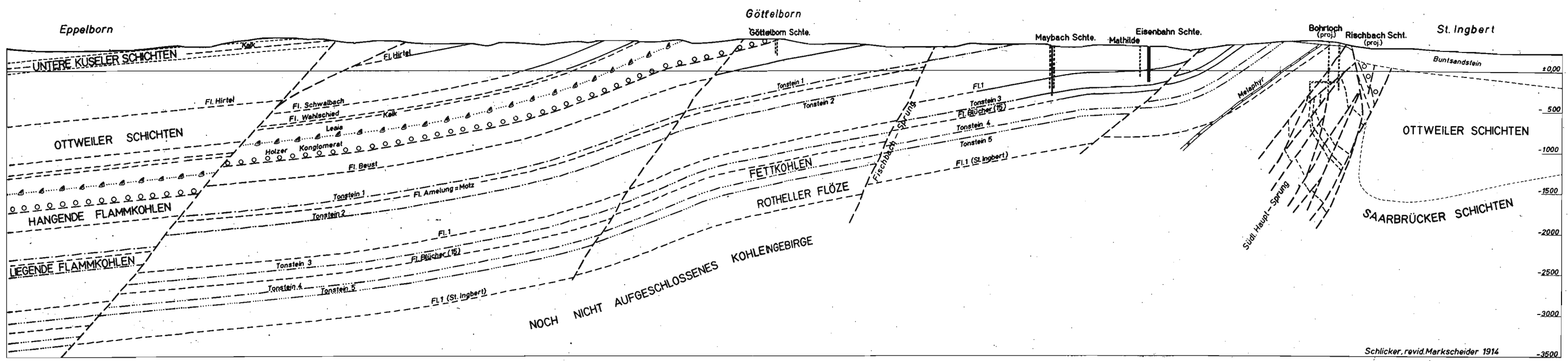
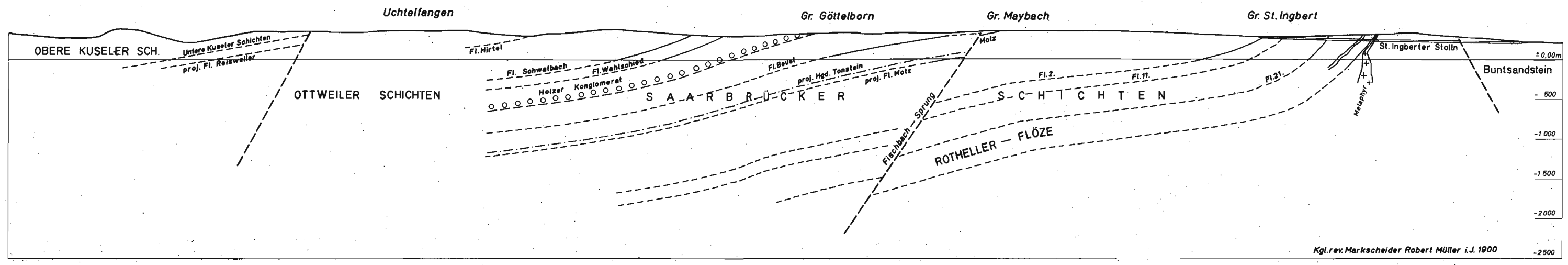
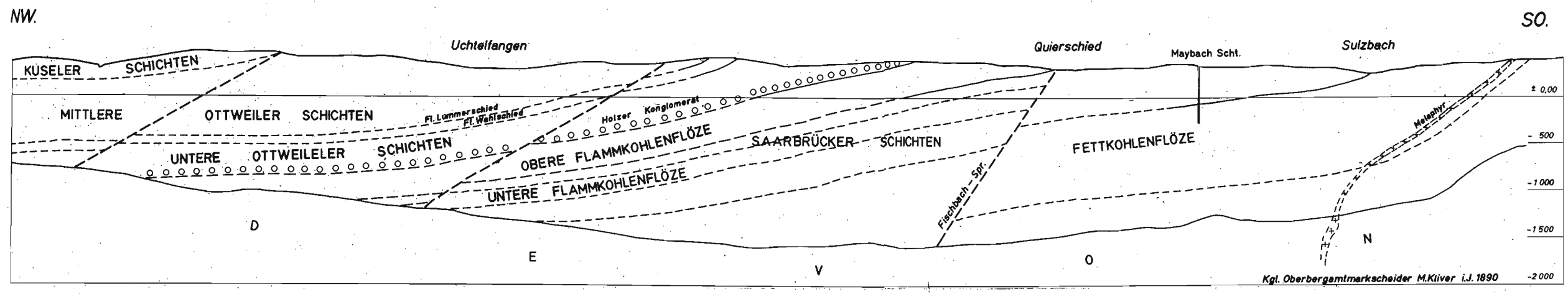
Doppelstücke sind \_\_\_\_\_ ~~nicht~~ \_\_\_\_\_ vorhanden \_\_\_\_\_ Wo? (Sonderkart)

Stück zur Ausstellung \_\_\_\_\_ ~~nicht~~ \_\_\_\_\_ geeignet \_\_\_\_\_

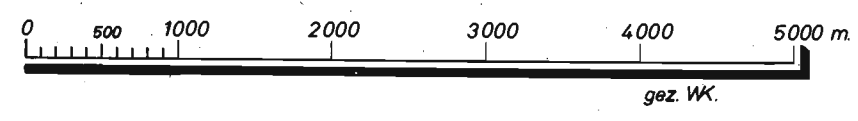
Fundort: Gr. Friedrichsthal, Sch. Erkershöhe  
0,90m mächtiges Flöz

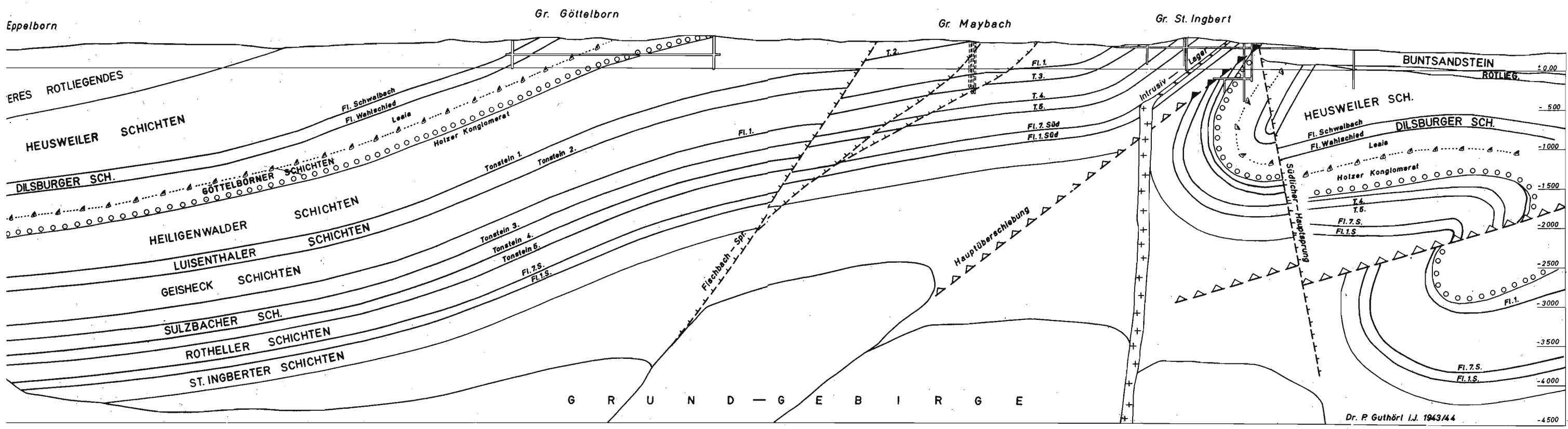
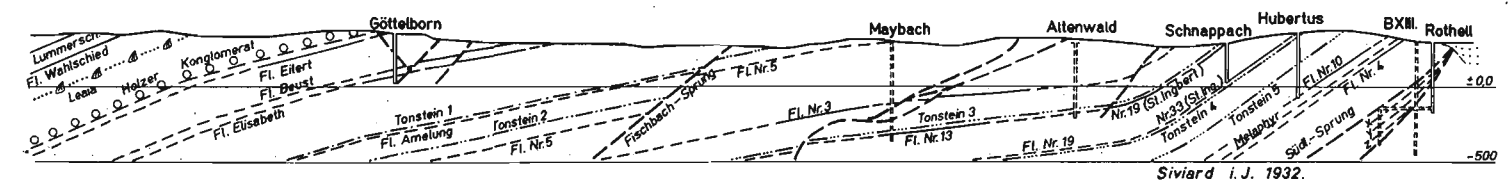
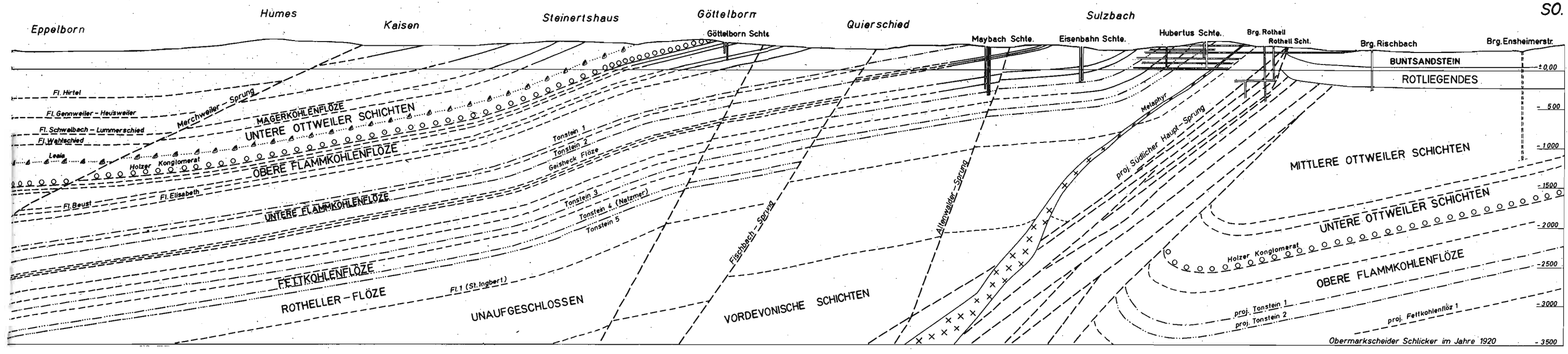
Finder: ? Datum: ?

Abb.21

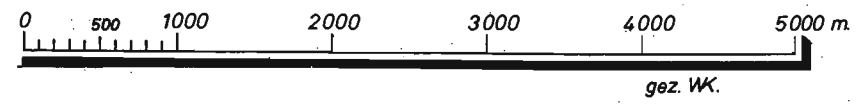


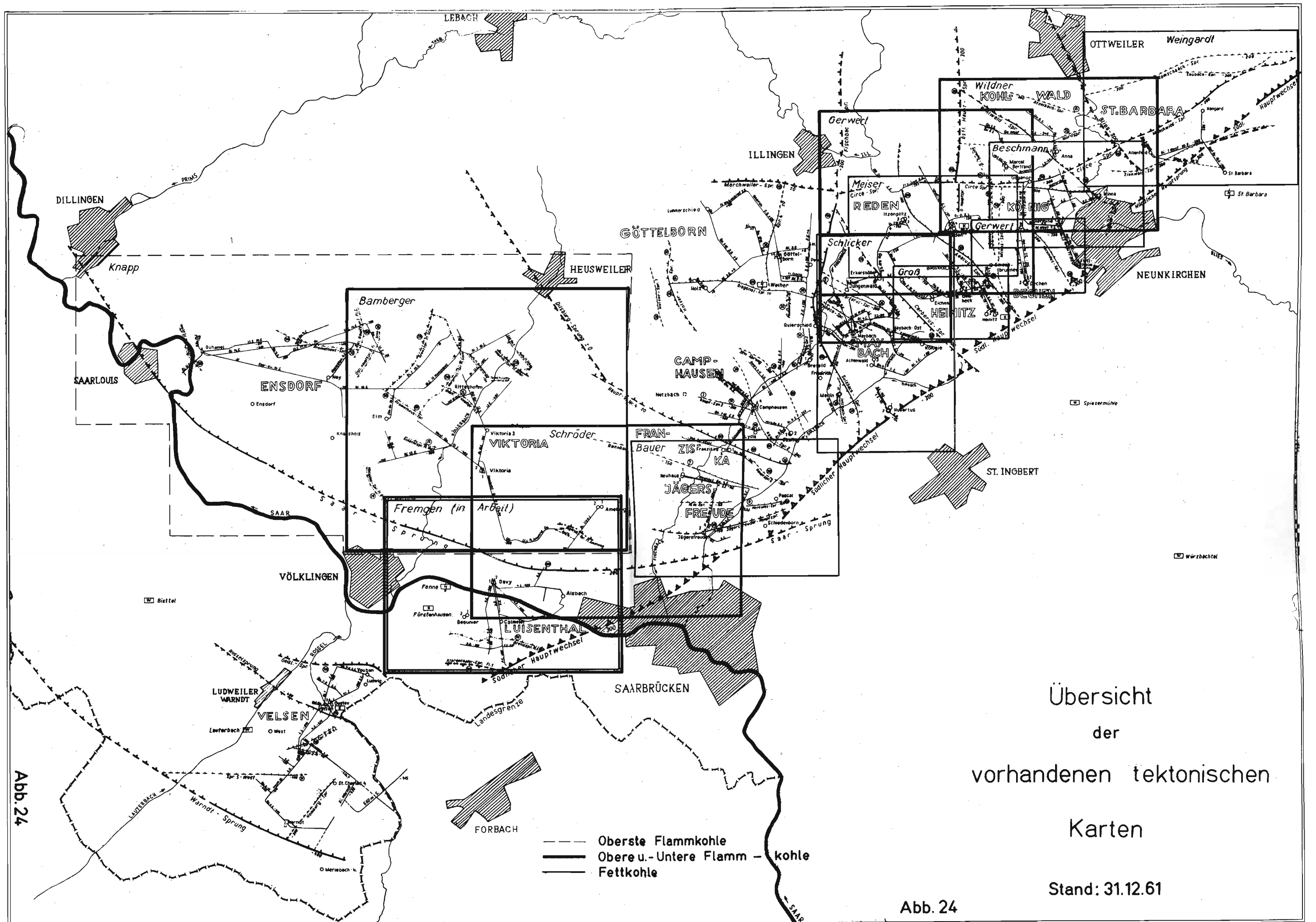
Schnitte durch die Kulmination  
des Saarbrücker Hauptsattels  
nach ihrer historischen Entwicklung geordnet.





Schnitte durch die Kulmination des Saarbrücker Hauptsattels nach ihrer historischen Entwicklung geordnet





Übersicht  
 der  
 vorhandenen tektonischen  
 Karten

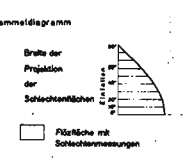
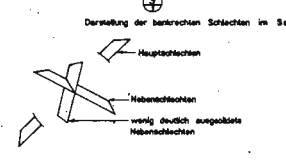
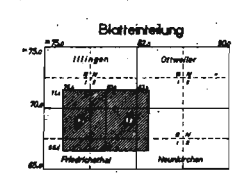
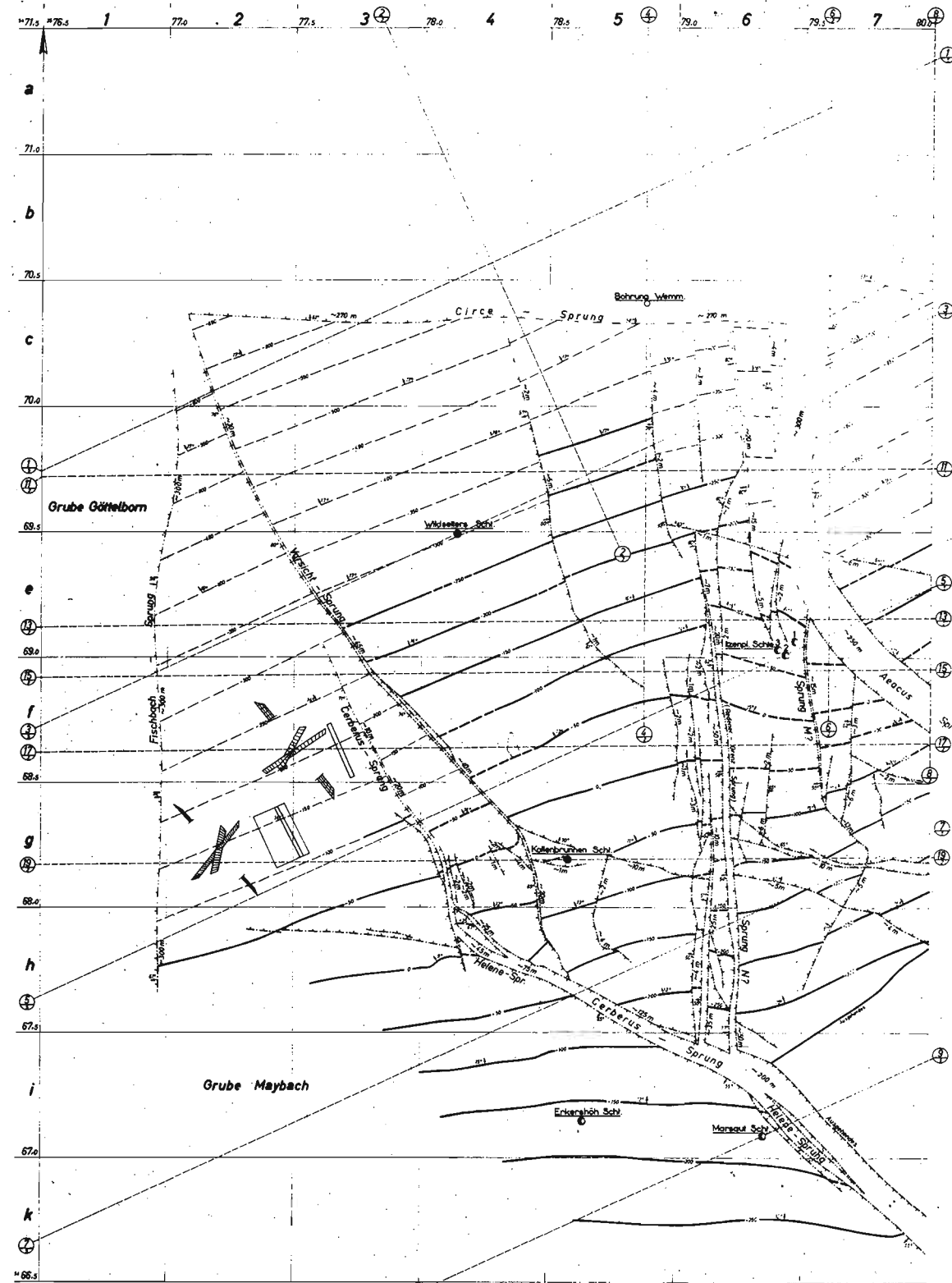
Stand: 31.12.61

Abb. 24

Abb. 24

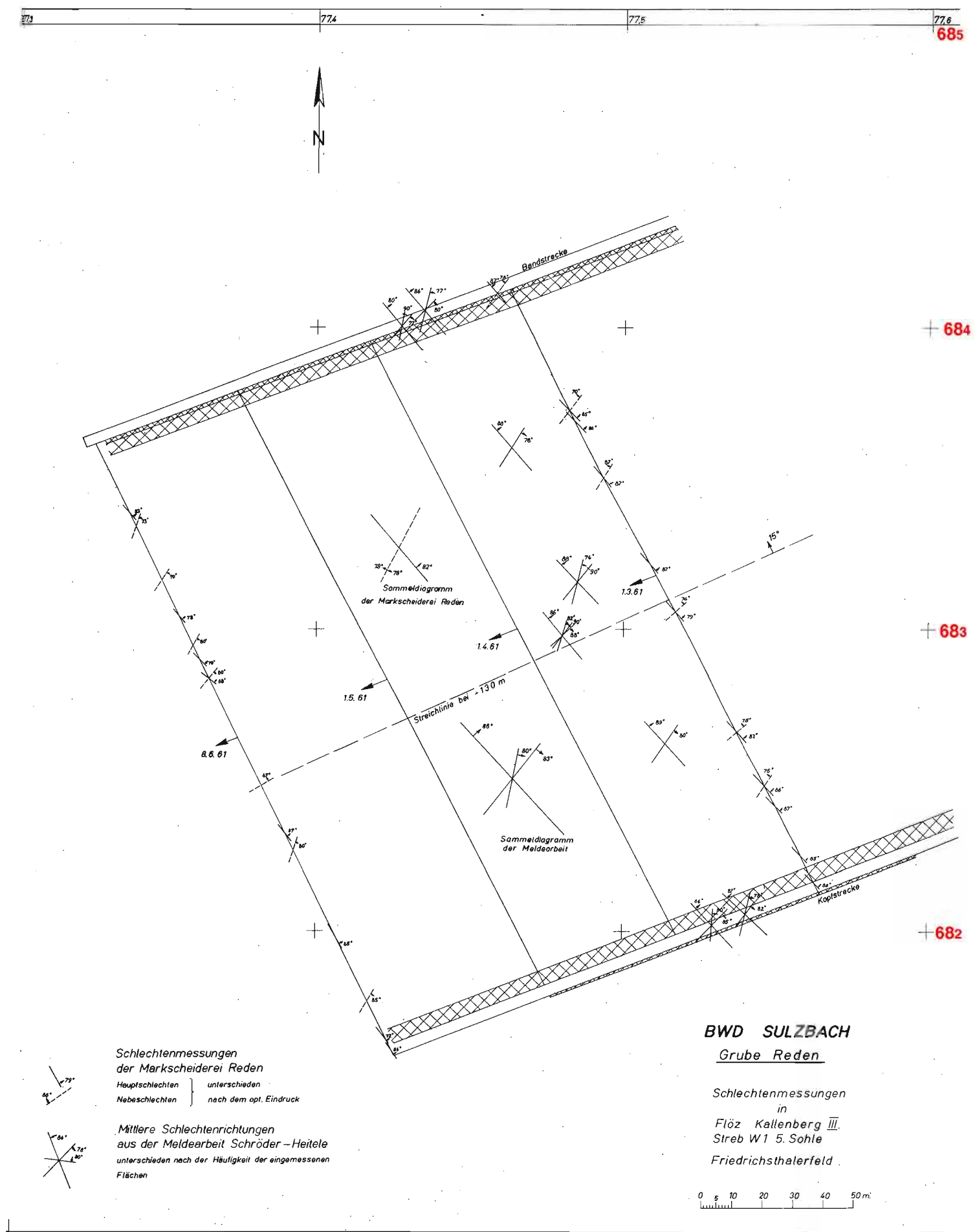
- Oberste Flammkohle
- Obere u. Untere Flammkohle
- Fettkohle





**TEKTONISCHE KARTE**  
**Flöz Kallenberg**  
 Grube Reden  
 LUISENTHALER SCHICHTEN

Abb.25



**Abb.26** Rot = von der in der Bindung steckenden linken Seite übertragen.

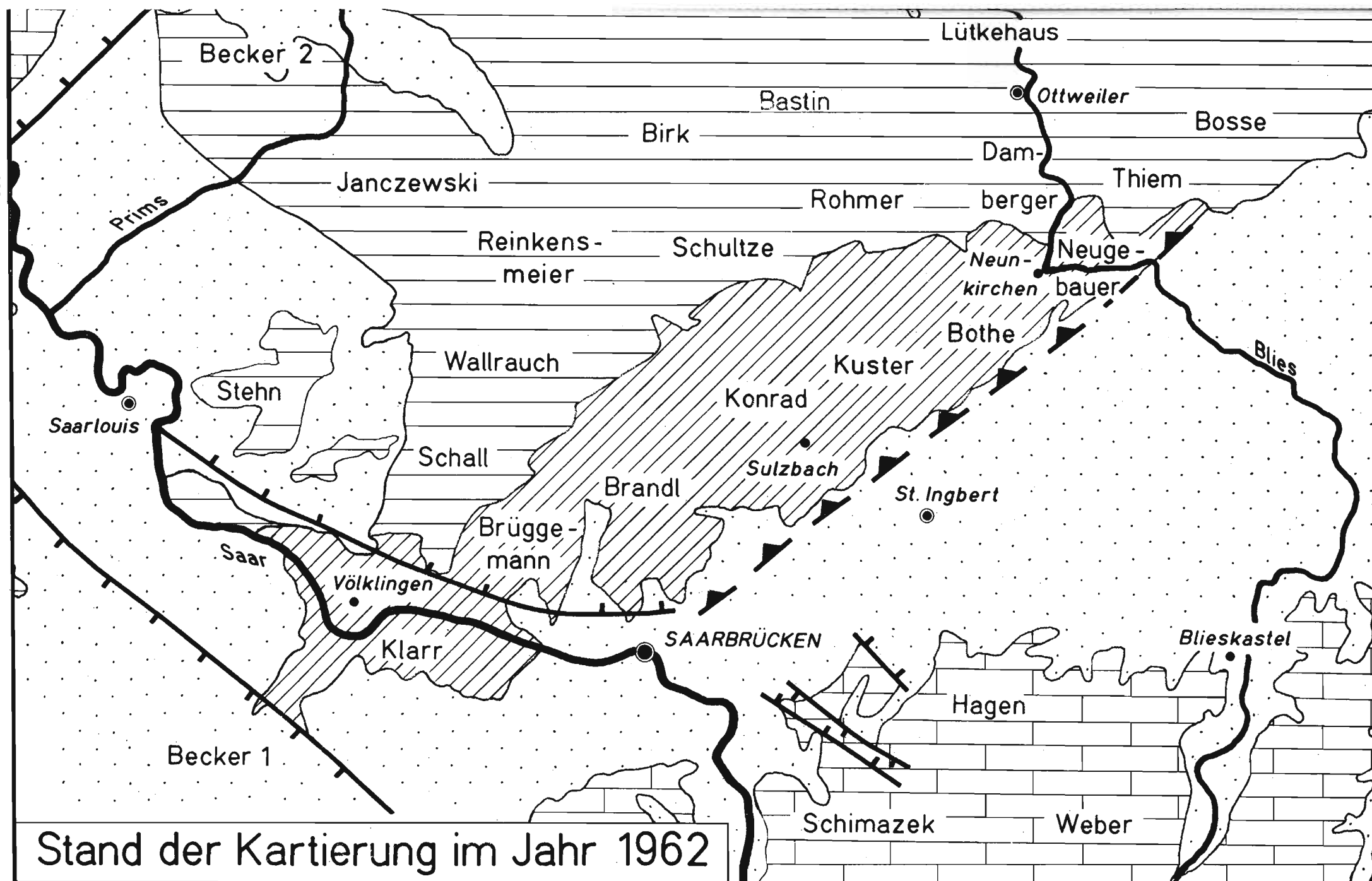


Abb.27

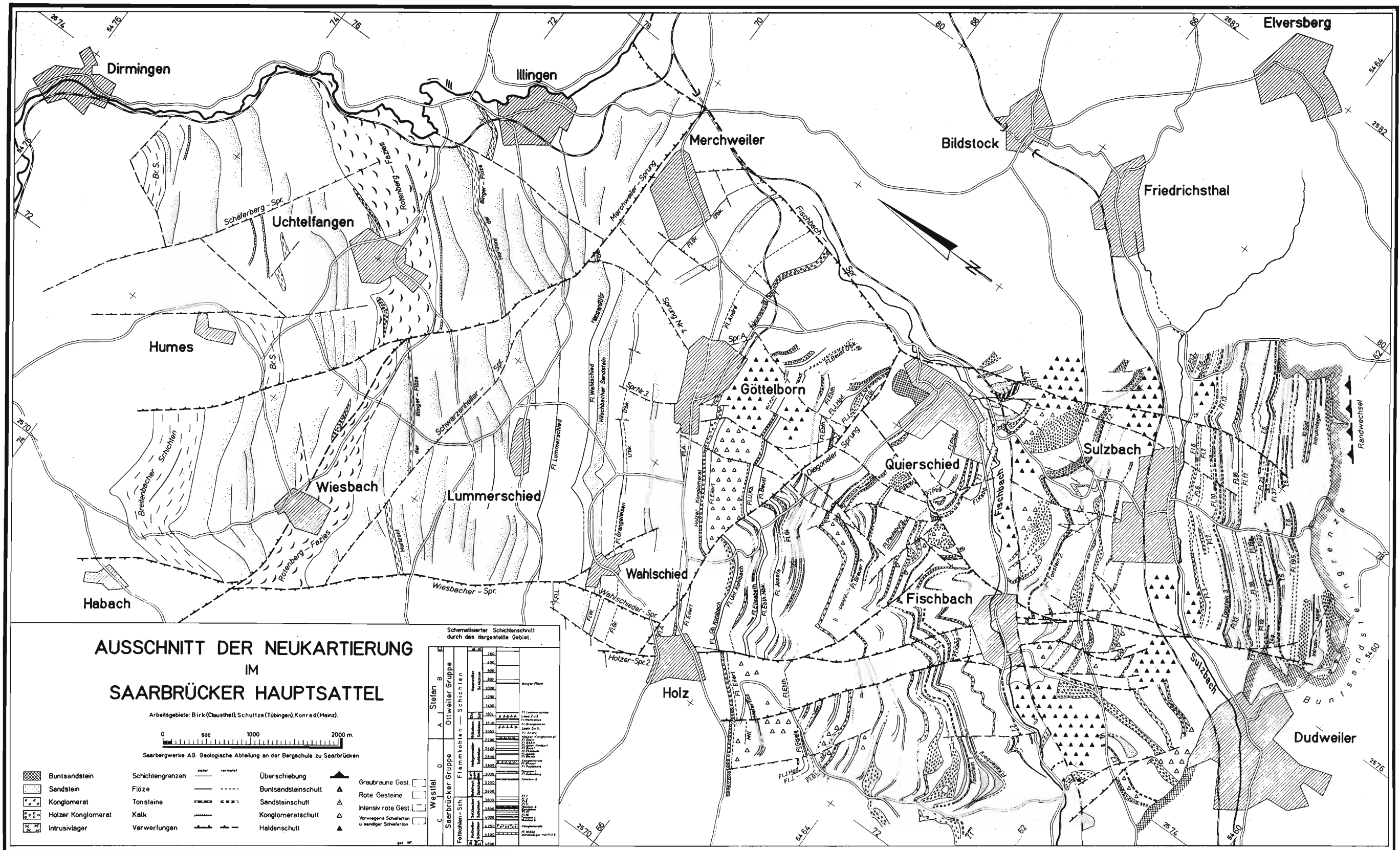


Abb.28

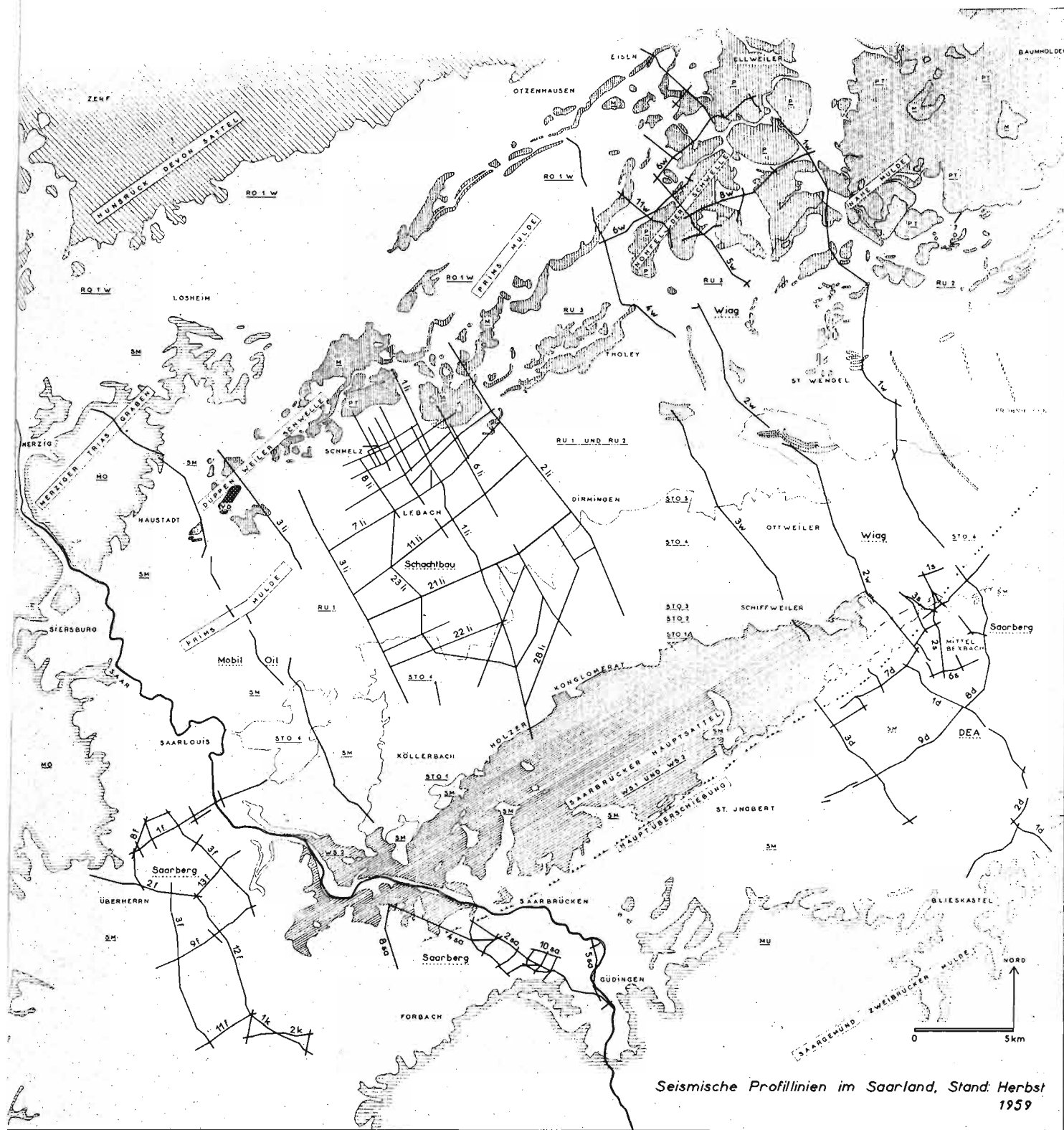
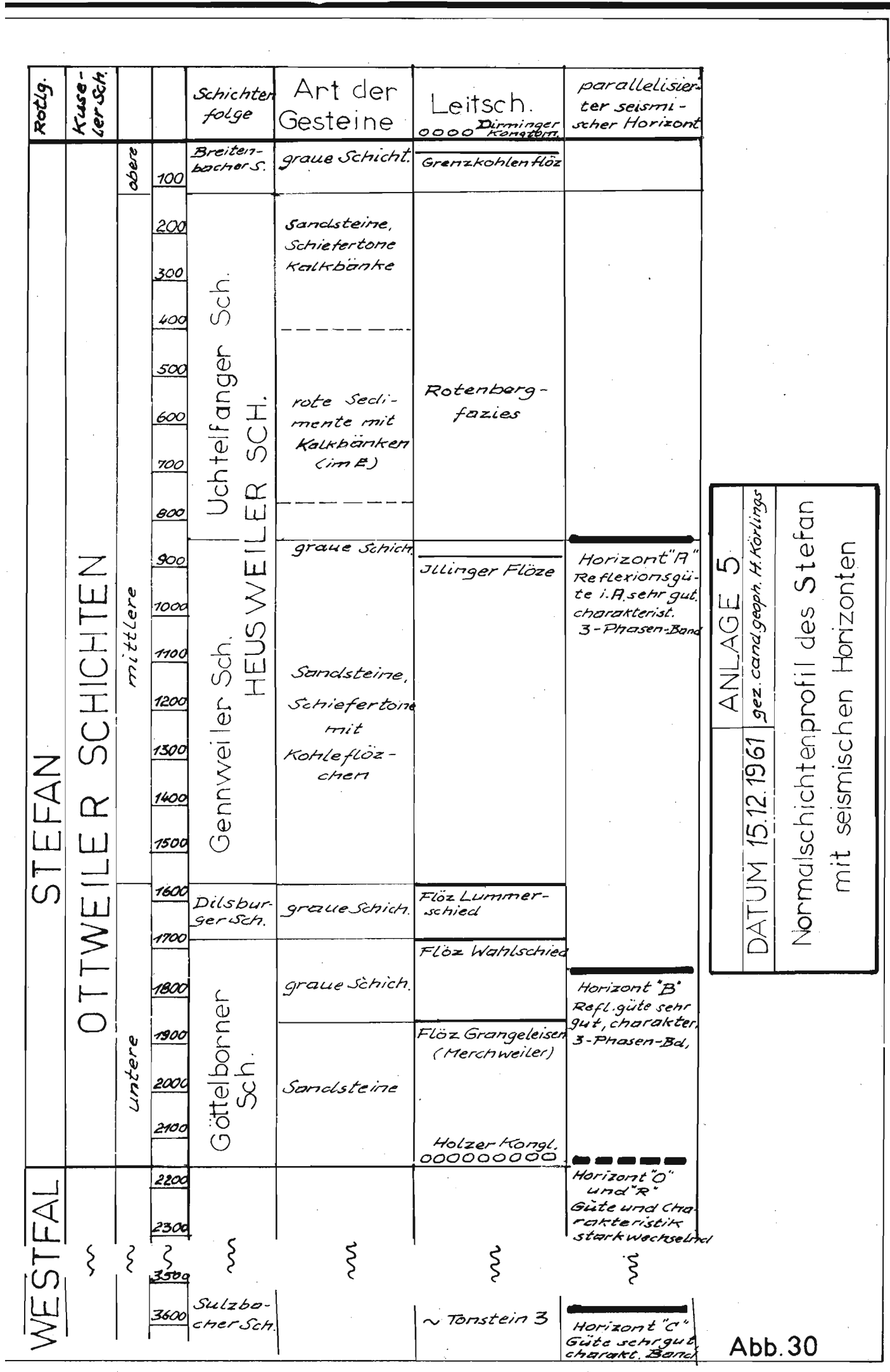
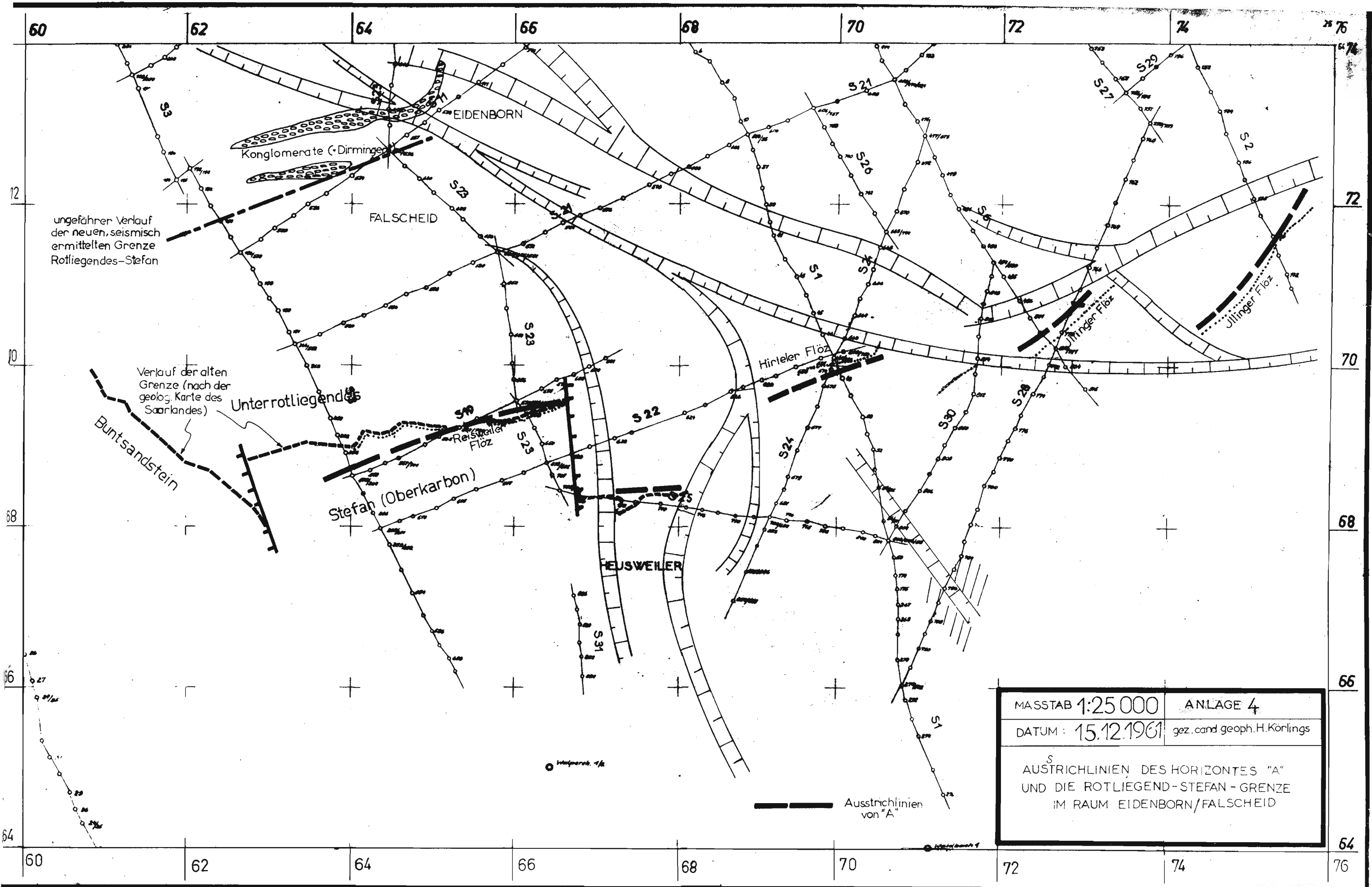


Abb. 29



ANLAGE 5  
 DATUM 15.12.1961 | gez. cand. geoph. H. Kurlings  
 Normalschichtenprofil des Stefan  
 mit seismischen Horizonten

Abb. 30



**ABB. 31**

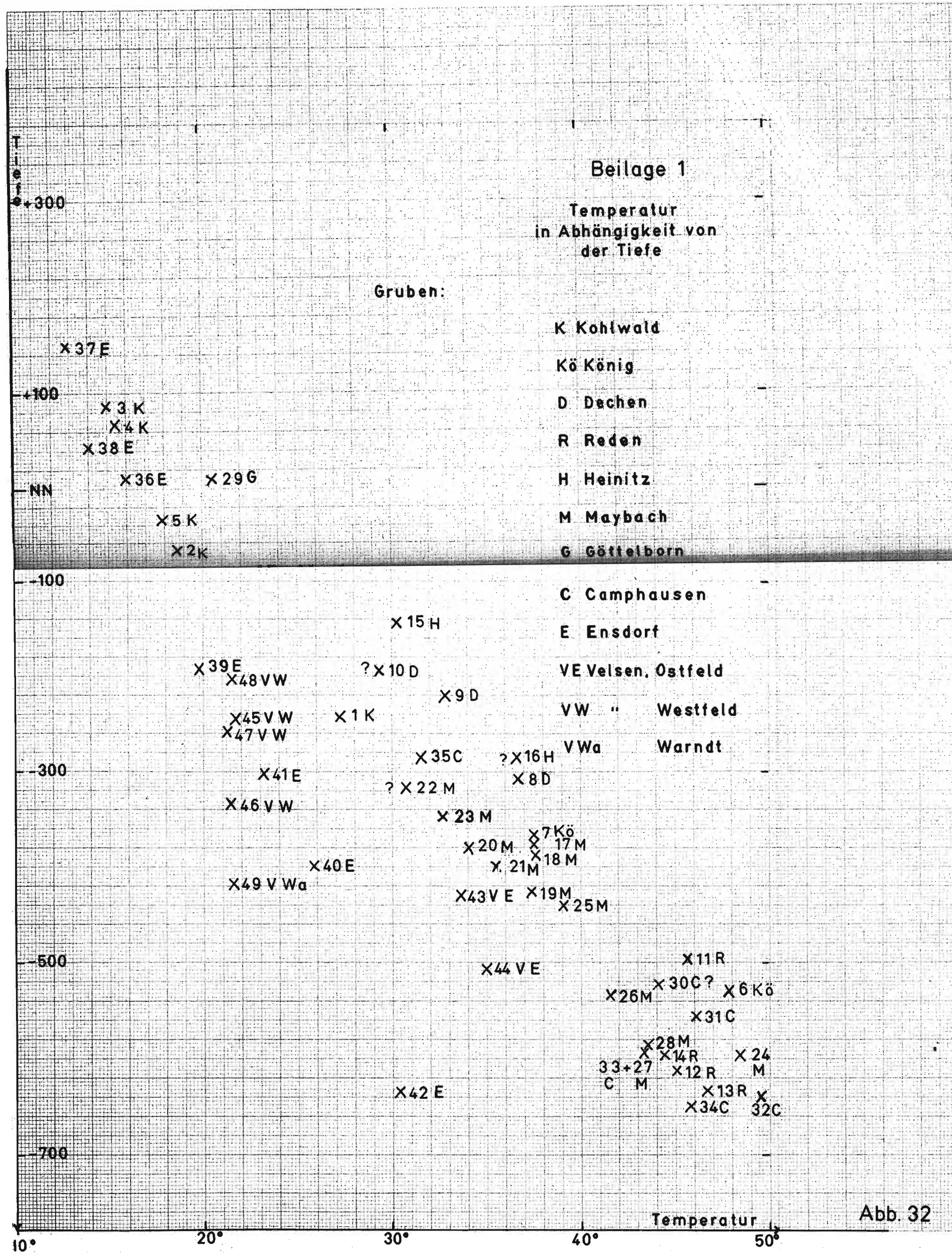
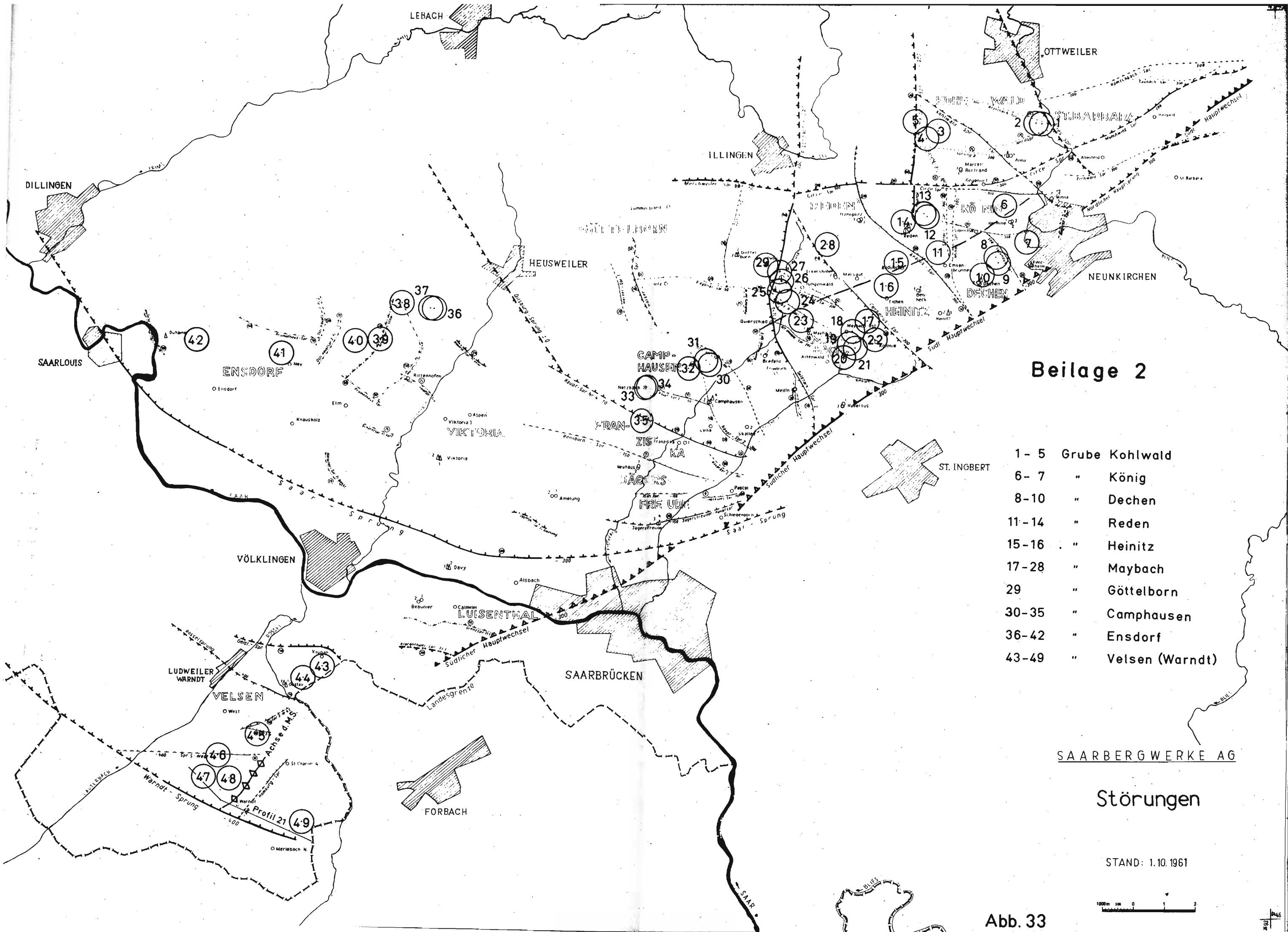


Abb. 32





Beilage 2

- 1 - 5 Grube Kohlwald
- 6 - 7 " König
- 8 - 10 " Dechen
- 11 - 14 " Reden
- 15 - 16 " Heinitz
- 17 - 28 " Maybach
- 29 " Göttelborn
- 30 - 35 " Camphausen
- 36 - 42 " Ens Dorf
- 43 - 49 " Velsen (Warndt)

SAARBERGWERKE AG

Störungen

STAND: 1.10.1961

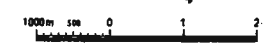


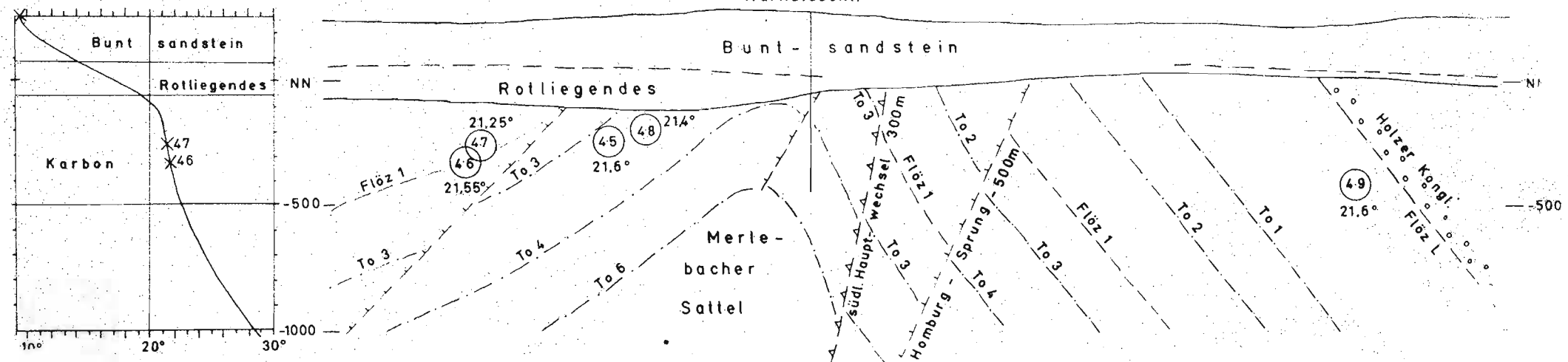
Abb. 33

vermuteter Temperaturverlauf  
 durch das Deckgebirge und die steilste-  
 henden Flanken des Merlebacher Sattels

### Schnitt 21

Beilage 3

(vereinfacht)  
 Warndidscht.



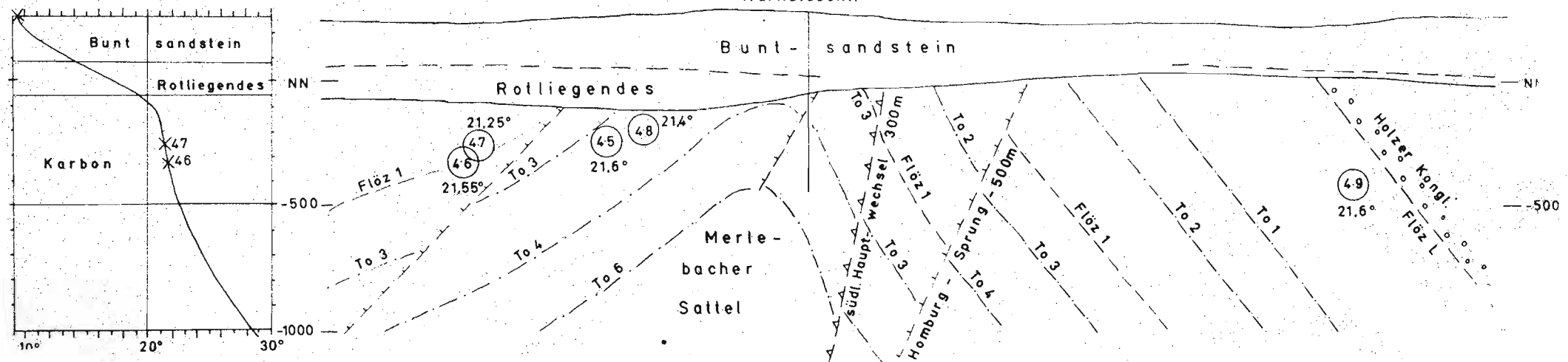
db. 34

vermuteter Temperaturverlauf  
 durch das Deckgebirge und die steilste-  
 henden Flanken des Merlebacher Sattels

### Schnitt 21

Beilage 3

(vereinfacht)  
 Warndidscht.



ab. 34

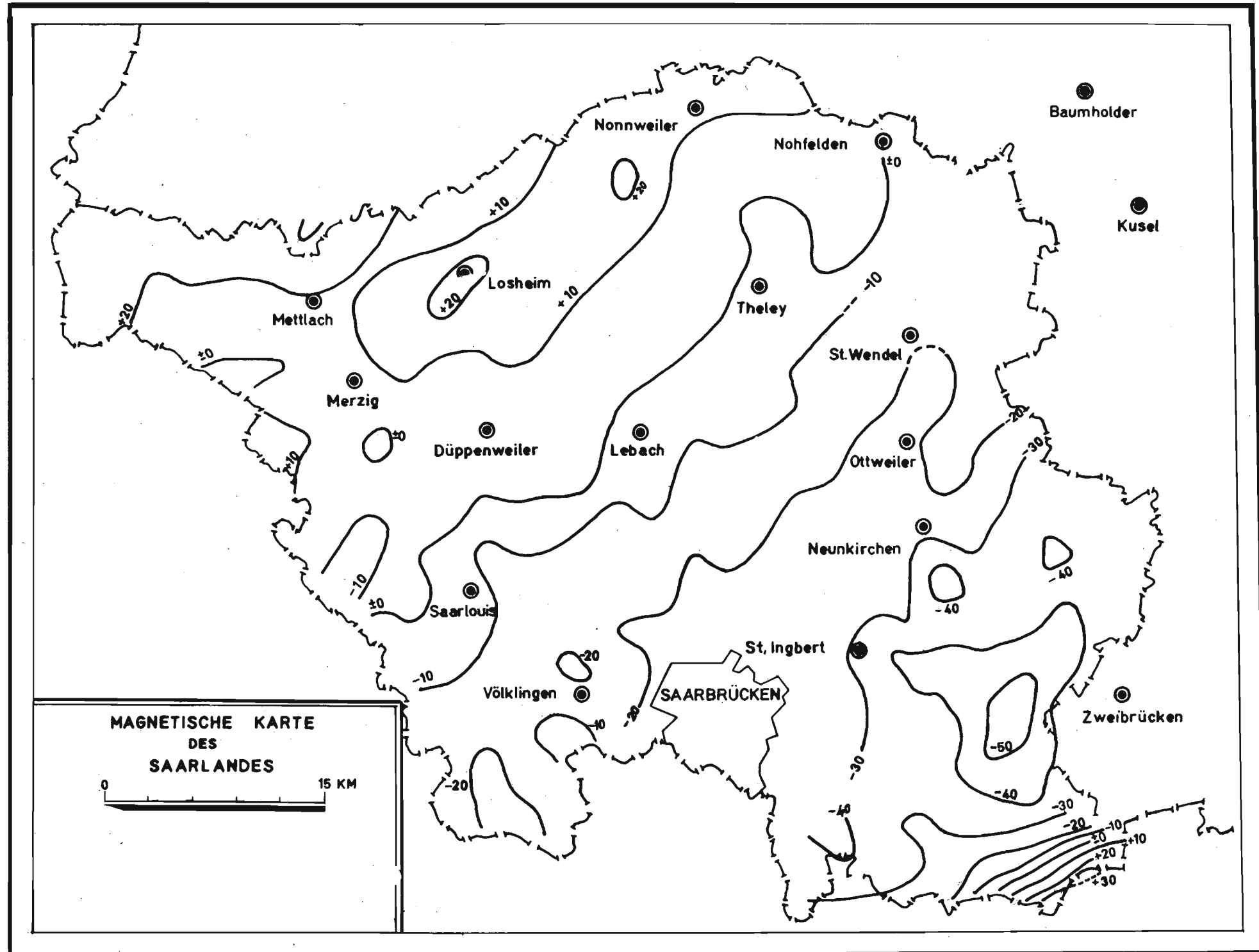


Abb. 35

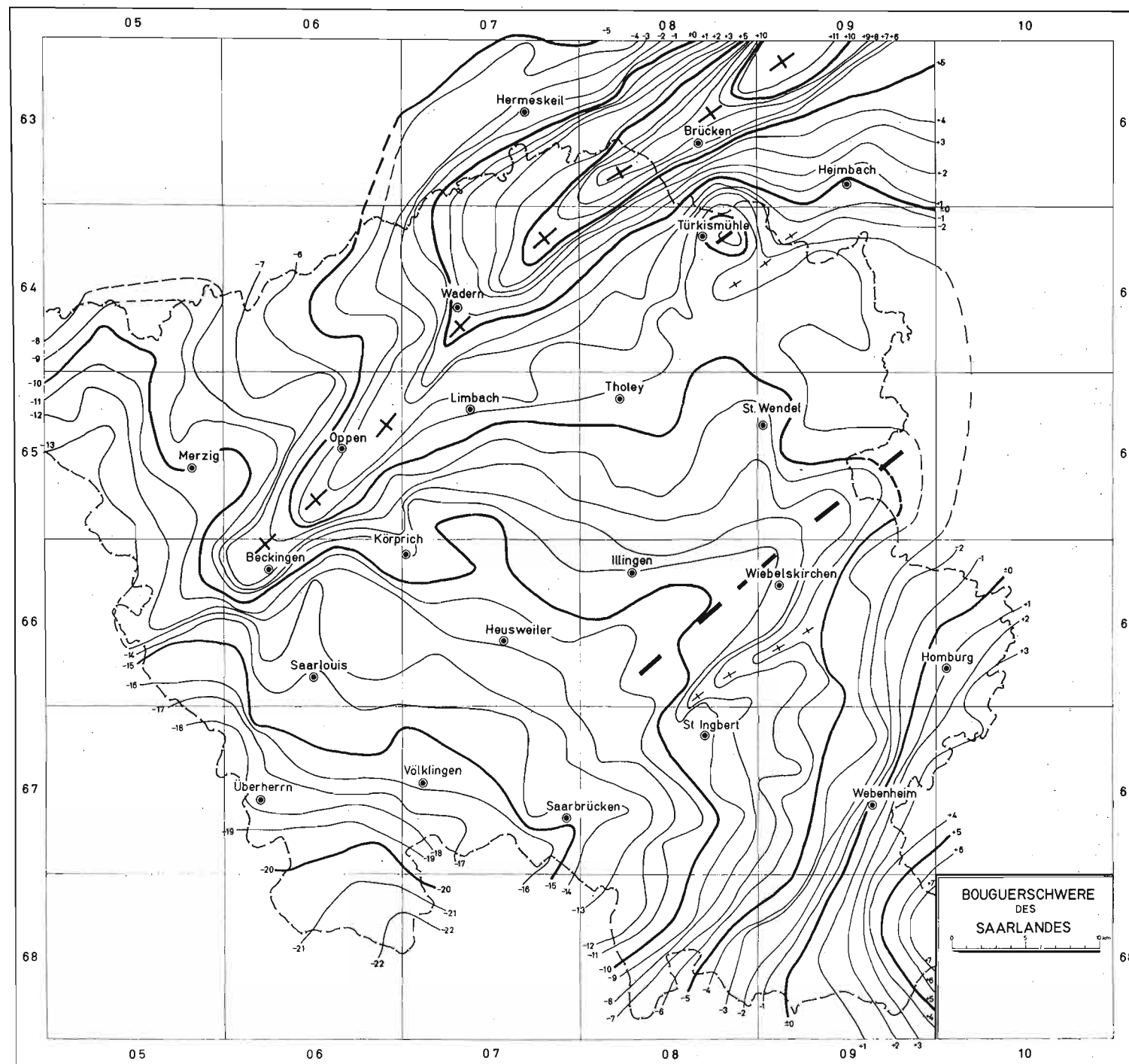


Abb.36

<b>Neunkirchen</b>			Rechts 25 91770	4 1
1) Lage: Gemeinde	Limbach	Flur	Hoch 54 63720	6609
2) Eigent. d. Grundstückes	Stadtwerke Neunkirchen		Betriebsbezeichnung Limbach 5 B	
3) Nutzung der Bohrung durch	" "			
Verantwortlicher Beauftragter <b>Hr. Wirt/Jung Stadtwerke</b>				
4) Genehmigt. verliehen <b>Erlaubnis</b> am <b>17. 8. 1959</b> mit Urkunde Nr. - <b>L III - 1/Ru -</b>				
durch <b>Landrat des Kreises Homburg</b>			(siehe Akte)	
zul. Höchstentnahme <b>80 m<sup>3</sup>/h 20h/T</b> zul. Absenkung <b>10,00 m u.G.W. Sp.</b>			Ansatzpunkt: N. N. + m	
5) Verwendungszweck <b>Trinkwasser</b>			Meßpunkt: N. N. + m	
6) Pumpversuch (siehe Akte)			Meßtafelblatt Nr. 6609	
Datum <b>19.1. - 22.1.1955</b> Ruhewasserspiegel <b>2,75 u.Fl.</b>			Datum <b>19.1. - 22.1.1955</b> Ruhewasserspiegel	
Förderleistung <b>50 l/s</b> Absenkung <b>8,35 u.Fl.</b> m			Förderleistung <b>27,8 l/s</b> Absenkung <b>6,57</b> m	
Pumpzeit <b>4,5 h</b> Steigzeit			Pumpzeit <b>1 h</b> Steigzeit	
Bohrung fertiggest. am <b>18.2.1955</b> in Betr. gen. am <b>20.4.1955</b>			Schutzgebiet festgelegt durch:	
7) Förderung			Wasserzutritt:	
a) Normalbedarf <b>16,7 l/s</b> Absenkung <b>5,80</b> m			Wassereinzugsgebiet:	
b) Spitzenbedarf Absenkung m				
Bemerkungen: <b>Betriebszeit: 13 - 14 h/Tag</b>			Chem. Untersuchung der Wasserprobe:	

Abb. 37

Schichtenverzeichnis		Bohrprofil	Bohrung		
0,25	Mutterboden		φ	von	- bis
1,60	gelber Sand, schwimmend mit Wasser				
5,20	roter Sand, trocken, fest gelagert				
36,00	roter Sandstein, weich wasserführend		1 000	0	- 30,0
52,00	gelber Sandstein fest				
06,00	roter, lehmiger Sandstein, fest		600	-	60,0
119,00	roter Sandstein rein, fest				
137,00	roter Sandstein mit Kies, fest		500	-	100,0
150,00	roter Sandstein mit Lettlagen fest				
158,00	roter Sandstein mit Kies, fest		400	-	193,0
190,00	roter Sandstein mit Lettlagen fest bei 175 m Tiefe Bruchstelle				
191,00	roter Ton, weich				
193,00	roter Ton und sehr harte Einlagen				
			<b>Verrohrung</b>		
			φ	von	- bis
			1 000	0	- 8,00
			800	0	- 30,00
ausgest. am:		Ersetzt durch:		Ersatz für:	

Abb. 38

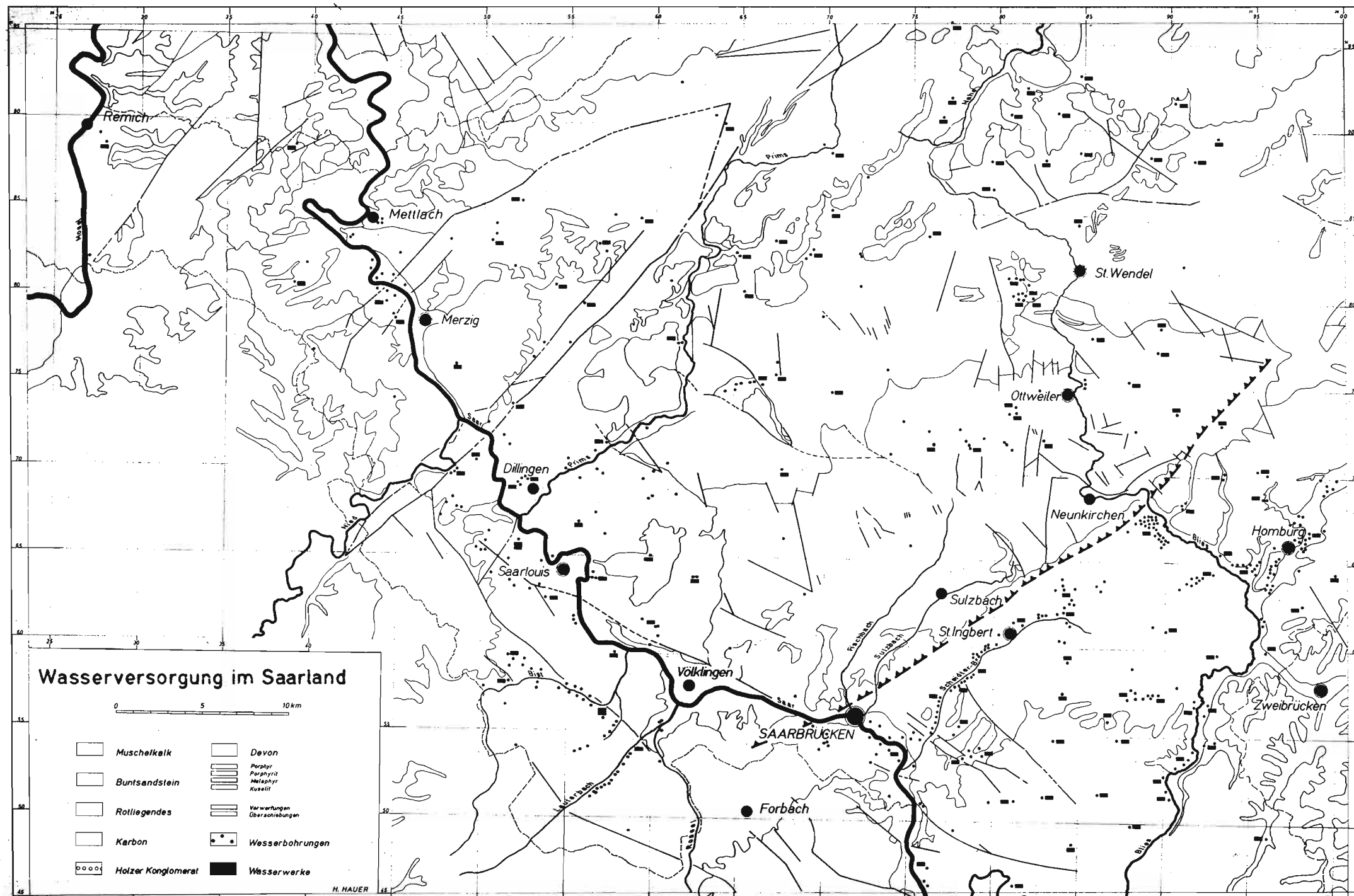


ABB. 39